



# Dynamisk Modelling av Glukosavkännande signalvägar i *Saccharomyces Cerevisiae*

Dynamic Modelling of Glucose Sensing Pathways in *Saccharomyces Cerevisiae*

*Kandidatarbete inom civilingenjörsutbildningen vid Chalmers*

Miranda Carlsson

Jonatan Eklöv

Ola Rosengren

Anna Svensson Fehér



# Dynamisk Modellering av Glukosavkännande signalvägar i *Saccharomyces Cerevisiae*

*Kandidatarbete i matematik inom civilingenjörsprogrammet Bioteknik vid Chalmers*

Miranda Carlsson   Jonatan Eklöv  
Ola Rosengren   Anna Svensson Fehér

Handledare: Sebastian Persson

Institutionen för Matematiska vetenskaper  
CHALMERS TEKNISKA HÖGSKOLA  
GÖTEBORGS UNIVERSITET  
Göteborg, Sverige 2023



## Förord

Följande kandidatarbete är genomfört av medlemmarna Miranda Carlsson, Jonatan Eklöv, Ola Rosengren och Anna Svensson Fehér. Vi studerar allesammans civilingenjörsprogrammet inom bioteknik på Chalmers tekniska högskola och valde att genomföra ett projekt på institutionen för matematiska vetenskaper. Projektets fokus har varit att applicera matematisk modellering för analys av glukosnätverk hos jästceller och har handletts av Sebastian Persson, nuvarande doktorand för Cvijovic lab. Vår förhoppning med projektet var att lära oss mer om ämnet, dess potential för forskningsrelaterade frågor samt bli bättre på programmering.

Tidigt under projektets gång delades arbetets in i två större delar. Det ena innefattade att formulera systemet med ekvationer, implementera dessa och ramverket för att kunna simulera dem i kod samt konstruera en kostnadsfunktion som kan minimeras. Den andra delen handlade om att formulera och implementera en kontinuerlig optimeringsalgoritm. Anna och Jonatan har haft ansvar för den förstnämnda delen medan Miranda och Ola har arbetat med den sistnämnda. Båda delar innefattar skrivande av kod och där har Ola och Jonatan tagit en större roll än de övriga i respektive halva. Trots uppdelningen har många av projektets delar arbetats på och diskuterats gemensamt, desto mer när slutskedet närmats för arbetet.

Uppdelningen för projektet speglas även i skrivprocessen av rapporten. I tabellen nedan framgår koncist vem som har skrivit vad av rapportinnehållet. Samtliga gruppmedlemmar har bidragit med feedback och förbättringar genom hela rapportskrivandet.

**Tabell 1:** Bidragsrapport - Skrivandet av rapporten

Vem	Avsnitt
Miranda	Förord, Abstract, Inledning, 3.1.1, 3.5.1, 3.6, 4.0, 4.1.0-3, 4.2, 5.2, 6, Appendix G.3-G.5
Jonatan	3.1.0 3.1.1, 3.1.3, 3.2.0, 3.2.4, 3.3, 3.4, 3.6 4.3.0, 4.3.4-5 5.0, 5.1-5, 6, Figur 1, Figur 5, Appendix A, B, C, G.1, G.2
Ola	Populärvetenskaplig presentation, 3.5.0, 3.5.2, 3.6, 4.1.2 4.0 4.1.4-5, 4.2, 4.3, 5.4, 5.6, 6, Figur 6, Appendix E-F, Appendix G.3-G.5
Anna	Förord, Populärvetenskaplig presentation, Sammandrag, 2, 3.1.2-3 3.2.0, 3.2.1-3, 4.3.1-3, 5.1, Figur 2-4, Appendix A, C, D, G.2

Utöver arbetet relaterat till rapporten har en loggbok förts över medlemmars enskilda bidrag och prestationer. Loggning har skett i form av en dagbok där arbetsbörda och aktiviteter presenterats i tabellform till examinatorerna. Dagboken har lämnats in veckovis och ansvaret för inlämningen har bestämts genom en turordning och därefter via ruljans. Även en individuell, daglig tidslogg har förts av vardera medlem.

## Populärvetenskaplig presentation

Hälsa och högt välbefinnande är en viktig aspekt att ta hänsyn till för hållbar utveckling globalt. I de globala målen framtagna av FNs utvecklingsprogram UNDP räknas god hälsa som en förutsättning för att kunna medverka i utvecklingen av samhället [1]. Trots att det skett framsteg inom vissa områden, förväntas antalet drabbade av olika metabolismrelaterade diagnoser som exempelvis fetma och diabetes typ 1 och 2 stiga [2]. Eftersom livslängden på jordens befolkning dessutom ökar, kan man även förvänta sig att åldersrelaterade sjukdomar kommer bli allt vanligare [3]. För att förhindra negativa hälsotrender krävs djupare förståelse kring vad som sker i människan på cellnivå under sjukdomstillstånd och åldrande. Därför är det intressant att studera cellulära processer som exempelvis glukosreglering och metabolism.

Till detta ändamål har jästceller (från *Saccharomyces cerevisiae*) visat sig vara av stor användning [4], då många av dess grundläggande funktioner liknar de som kan observeras i människoceller. Jästceller är välstuderade organismer samt lättodlade, vilket gör dem till lämpliga modellorganismer. Detta i kombination med etablerade analysmetoder gör att stora mängder information om jäst kan utvinnas experimentellt. För att effektivt kunna utnyttja denna information och kunna ta fram välgrundade slutsatser om jästcellers molekylära processer, krävs därför kompletterande metoder. Ett vanligt sätt att hantera och analysera denna sortens biologisk data är genom matematisk modellering. Matematisk modellering är synonymt med att applicera matematiska uttryck och ekvationer för att beskriva ett verkligt fenomen, exempelvis ett biologiskt system. Modellerna kan ge oss en insikt i hur komplexa system fungerar, exempelvis hur betydande komponenter varierar över tid [5].

Under projektet har modellering använts för att studera koncentrationsförändringar av proteiner, som påverkar hur mycket glukos jästceller tar upp. Nätverket har studerats främst med andledning att några av koncentrationerna för systemet saknat experimentell data. Modelleringen har genomförts genom att sätta upp ett matematiskt system för ingående komponenter. Systemet har därefter lösts, där lösningen visar hur systemet beter sig över tid. Modellens uppskattningar jämfördes därefter med experimentellt framtagen data för att se hur väl beräkningarna överensstämde med verkligheten. Deras differens har sedan försökt minimeras med hjälp av optimeringsalgoritmer.

Arbetet genomfördes med ambitionen att skapa en modell för jästcellens glukoshantering och ta fram resultat för detta, likt de som redan etablerats i artikeln *A quantitative model of glucose signaling in yeast reveals an incoherent feed forward loop leading to a specific, transient pulse of transcription* av S. Kutykrishnan [6]. Till följd av lite data kunde artikelns modellkonstruktion inte återskapas på ett övertygande sätt. Metoden som användes lyckades inte bestämma parametrarnas värden, vilket gjorde direkt jämförelse mot artikeln omöjlig. Arbetet diskuterar istället metodval för utformningen av modellen och hur andra val hade kunnat motverka bristfälliga uppskattningar.

## Sammandrag

Det blir allt vanligare att människor insjuknar i metaboliska sjukdomar som diabetes. För att motverka denna negativa hälsotrend krävs kunskap om cellulära processer för glukosreglering. Denna kunskap kan fås genom att studera interaktioner mellan substanser i komplexa biologiska system. I följande arbete var syftet att konstruera en dynamisk modell som beskriver nätverket för glukosregleringen i *Saccharomyces cerevisiae*, utifrån en befintlig modell. Arbetets modell skapades genom att formulera ordinära differentialekvationer (ODE:er) som beskriver nätverkets koncentrationsförändringar. ODE-systemet löstes med en kostnadsfunktion, där en optimeringsalgoritm implementerades från grunden för att estimeras okända parametrar i nätverket. Estimeringen lyckades inte på ett övertygande sätt bestämma parametervärdena och en diskussion fördes därför angående huruvida mängden tillgänglig data eller andra metodval hade kunnat förbättra modellen. Slutsatsen blev att större set data och en kraftigare optimeringsalgoritm troligtvis hade resulterat i mindre avvikande prediktioner.

## Abstract

As the prevalence of metabolic diseases such as diabetes is increasing, more knowledge of the cellular processes governing glucose regulation is required to combat the trend. This understanding can be obtained by studying interactions of substances in complex biological systems. The aim of this project was to construct a dynamic model that describes the glucose regulation network in *Saccharomyces cerevisiae*, based on an existing model. The project's model was produced by formulating ordinary differential equations (ODEs) corresponding to concentration changes in the network. The system of ODEs was then solved by a cost function where an optimization algorithm was implemented to estimate unknown parameters in the network. The estimation failed in determining the parameter values in a convincing manner, and it was thereby discussed whether the amount of available data or other methodological approaches could have improved the model. It was concluded that the use of larger sets of data and a superior optimization algorithm most likely would have resulted in less deviant predictions.

# Innehåll

<b>1 Inledning</b>	<b>1</b>
<b>2 Syfte</b>	<b>1</b>
<b>3 Teori</b>	<b>2</b>
3.1 Biologisk bakgrund . . . . .	2
3.1.1 Glukosreglering . . . . .	2
3.1.2 Jästen <i>Saccharomyces cerevisiae</i> . . . . .	2
3.1.3 Hexostransportörernas funktion och sammanfattning av glukosnätverket . .	2
3.2 Dynamisk modellering av intracellulära processer . . . . .	3
3.2.1 Michaelis Menten ekvationen - förenklande modell för enzym-substratreaktioner	4
3.2.2 Modell för genreglering - Hills ekvation . . . . .	5
3.2.3 Quasi steady state - förenklande hastighetsantagande för snabba reaktioner	5
3.3 Modellkonstruktion . . . . .	6
3.4 Härledning av minimeringsproblem för okända parametrar . . . . .	6
3.5 Kontinuerlig optimering . . . . .	7
3.5.1 Steepest descent . . . . .	7
3.5.2 Newtons metod . . . . .	7
3.6 Identifierbarhetsanalys . . . . .	8
<b>4 Metod</b>	<b>9</b>
4.1 Optimering av modellens parametrar . . . . .	9
4.1.1 Användning av Steepest descentmetoden . . . . .	9
4.1.2 Bestämning av steglängd . . . . .	10
4.1.3 Termineringskrav . . . . .	10
4.1.4 Begränsningar i sökområdet . . . . .	10
4.1.5 Generering av startvärden . . . . .	10
4.2 Identifierbarhetsanalys med profile likelihood . . . . .	11
4.3 Kostnadsfunktionen och ODE-lösare . . . . .	11
4.3.1 Modellinitierare . . . . .	12
4.3.2 Koncentrationsberäknare . . . . .	13

4.3.3	Interpolerare . . . . .	13
4.3.4	Beräknare för stationärt tillstånd . . . . .	13
4.3.5	Anpassning av kostnadsfunktionen och dess sub-funktioner för att möjliggöra optimering . . . . .	13
<b>5</b>	<b>Resultat</b>	<b>14</b>
5.1	Sammanfattning av systemets kinetik . . . . .	14
5.2	Implementering av testmodell . . . . .	15
5.3	Estimering av modellparametrar . . . . .	15
5.4	Konvergens av optimum för parameteruppskattningen . . . . .	16
5.5	Jämförelse av beräkningshastighet . . . . .	18
5.6	Indentifierbarhetsanalys . . . . .	18
<b>6</b>	<b>Diskussion</b>	<b>18</b>
<b>A</b>	<b>Appendix 1 - Begreppslista över biologiska termer</b>	<b>i</b>
<b>B</b>	<b>Appendix 2 - Automatisk Diffrentiering</b>	<b>ii</b>
<b>C</b>	<b>Appendix 3 - Systemets differentialekvationer</b>	<b>iii</b>
<b>D</b>	<b>Appendix 4 - Härledning av Michaelis-Mentens ekvation</b>	<b>v</b>
<b>E</b>	<b>Appendix 5 - Härledning av Newtons metod</b>	<b>vii</b>
<b>F</b>	<b>Appendix 6 - Optimering samt indentifierbarhetsanalys på testmodell</b>	<b>viii</b>
<b>G</b>	<b>Appendix 7 - Källkod</b>	<b>x</b>
G.1	Modellkonstruktion av testmodell med grundkod för parameterestimation . . . . .	x
G.2	Modellkonstruktion och grundkod för parameterestimation . . . . .	xiii
G.3	Optimeringsalgoritm . . . . .	xxviii
G.4	Profile likelihood . . . . .	xxxvi
G.5	Plottning av resultat från parameterestimation . . . . .	xli

# 1 Inledning

Metaboliska sjukdomsfall, såsom diagnoser av diabetes och fetma, ökar i världen [2, 7]. Till följd av det växer även intresset för kunskap om metabolism, då dessa sjukdomar påverkar både individ och samhälle kritiskt. Detta innebär exempelvis försämrade livssituationer och ökade vårdkostnader [8, 9]. Sockerarten glukos är en av kroppens främsta energikällor och hålls i en frisk individ under konstant reglering [10]. Denna reglering är en viktig funktion inom glukosmetabolism, vilket är den biologiska processen där kolhydrater bryts ner till glukos [11, 12]. Processen är vårt mest effektiva sätt att utvinna energi. Däremot kan olika glukosnivåer påverka immunsystemets celler kroniskt vilket kan medföra sjukdomar som diabetes, Alzheimers och cancer [10]. Förståelse kring hur cellers glukosreglering fungerar är därav av stor vikt för den mänskliga hälsan.

Från ett etiskt perspektiv uppstår svårigheter kring arbete på mänskliga cellstammar. Detta beror på att det är otydligt huruvida forskningen blir moraliskt försvarbar. Dessutom är cellerna komplexa och kostnadsmissigt ineffektiva att forska på, i jämförelse med andra alternativ som kan underhållas till en låg kostnad [4]. En bra kompromiss blir att använda välstuderade modellorganismer, vars glukosmetabolism kan jämföras med människan. En välanvänd organism är bagerijäst. Även efter en miljard års evolution har många av genfunktionerna bevarats mellan jästceller och människan, däribland metabolism av glukos [13]. Det är därför givande att studera biologiska system i jäst för att erhålla en förståelse för motsvarande processer i människan.

Genom förståelse för den här typen av system på en molekylär nivå möjliggörs manipulation av dem för att bidra till en ny önskad funktion [6]. Dessutom är den kinetiska responsen, dvs. hur snabbt cellen reagerar på en förändring, intressant att undersöka då det kan ha betydelse för cellens överlevnadsförmåga [14]. Om en cell reagerar för långsamt till ett ändrat näringstillstånd kan den bli utkonkurrerad av snabbare celler medan en cell som reagerar för snabbt kan förlora energi på responsen, vilket är ineffektivt.

Däremot kan reglerande nätverk som fysiologiskt svarar på externa och interna stimuli vara svår-förstådda endast utifrån ett experimentellt tillvägagångssätt och intuitiva resonemang [15]. Detta genererar ett behov för matematisk modellering för att förstå systemen. Ofta används ordinära differentialekvationer (ODE:er) för att modellera dynamisk signalering i celler [16]. ODE:erna brukar formuleras genom att skriva om biokemiska interaktioner till hastighetsekvationer.

I det här arbetet undersöks en modell som beskriver koncentrationsförändringar av gener och protein intracellulärt i jästceller, givet olika externa sockerhalter. Modellen är skapad av Kutttykrishnan m.fl. och beskrivs i artikeln *A quantitative model of glucose signaling in yeast reveals an incoherent feed forward loop leading to a specific, transient pulse of transcription* [6]. Målet med det här arbetet kommer vara att försöka återskapa modellen och undersöka om vi får liknande resultat. Det givna nätverket känner av glukos, som specifikt styr över gener som kodar för glukotransportörer i *Saccharomyces cerevisiae*. Systemet har två signalvägar varav den första svarar med induktion av generna till följd av ökad glukoshalt och den andra svarar med repression, vilket innebär att genen inte längre transkriberas. De två signalvägarna är sammanlänkade och högst dynamiska, vilket innebär att genuttrycken inte är konstanta och är beroende av externa och interna signaler.

## 2 Syfte

Syftet med följande projekt är att konstruera en dynamisk modell som beskriver den transkriptionella och protein baserade regleringen i glukosregleringsnätverket hos *S. cerevisiae* vid olika koncentrationer av glukos. Modellen skall bygga på Ordinära Differentialekvationer, ODE:er, som svarar mot koncentrationsförändringar av proteiner och gener i nätverket.

Slutmålet är att kunna jämföra den modell som tas fram under projektet med den befintliga som beskrivs i artikeln *A quantitative model of glucose signaling in yeast reveals an incoherent feed*

*forward loop leading to a specific, transient pulse of transcription* av Kuttykrishnan m.fl., där den experimentella datan som skall användas hämtas från artikeln [6]. Genom att jämföra modellerna kan det verifieras hur väl fungerande artikelns modell är för att uppskatta de okända parametrarna. Detta är relevant eftersom parametrarna påverkar resultat och slutsatser utifrån modellen, som i sin tur kan ligga i grund för hypoteser för frågeställningar inom området.

## 3 Teori

Inledningsvis ges en biologisk grund för att sätta arbetet i en bredare kontext samt möjliggöra förståelse av modellkonstruktion på flera nivåer. Därefter beskrivs den matematiska bakgrunden som används i konstruerandet och lösandet av optimeringsproblemet vars mål är att bestämma de okända parametervärdena.

Genomgående i texten betecknar  $x$  en skalär,  $\mathbf{x}$  en vektor och  $\mathbf{X}$  en matris. På liknande sätt är  $f(x)$  en reellvärd funktion och  $\mathbf{f}(x)$  en vektorvärd funktion.

### 3.1 Biologisk bakgrund

I följande stycken benämns protein, mRNA och gennamn i regel som akronymer. Som exempel beskrivs proteinet *Glucose-responsive transcription factor* som Rgt1, dess mRNA som mRGT1 och dess gen som RGT1. En mer detaljerad bild över generna i detta arbete fås via databasen *Saccharomyces Genome Database* [17].

En begreppslista över andra biologiska termer finns att tillgå i Appendix A.

#### 3.1.1 Glukosreglering

Glukos och andra sockerarter är viktiga energikällor och byggnadsblock för alla organismer. Trots det kan höga glukoshalter vara problematiskt, som för människan där det kan bidra till exempelvis diabetes [18]. Reglering av halten glukos är därmed kritisk och det finns flertalet system för att styra den. På en större skala i människan bibehålls glukosnivå genom ett nätverk bestående av interaktioner mellan bukspottskörteln, levern, fettvävnad, muskler och hjärnan [10]. På cellulär nivå styrs det av en grupp proteiner. Dessa är intressanta att studera i mänskliga celler men också i andra organismer.

#### 3.1.2 Jästen *Saccharomyces cerevisiae*

Bagerijäst (*Saccharomyces cerevisiae*) har flera fördelar som gör den till en lämplig modellorganism. Den har en inre cellstruktur som påminner om den som går att observera hos andra eukaryoter som djur och växter [4]. Likheten mellan de intracellulära organellerna gör att studier om jästen kan öka förståelsen för biologiska processer, även hos eukaryoter. Detta skulle kunna innefatta exempelvis metabolism, signalering och responsmekanismer.

#### 3.1.3 Hexostransportörernas funktion och sammanfattning av glukosnätverket

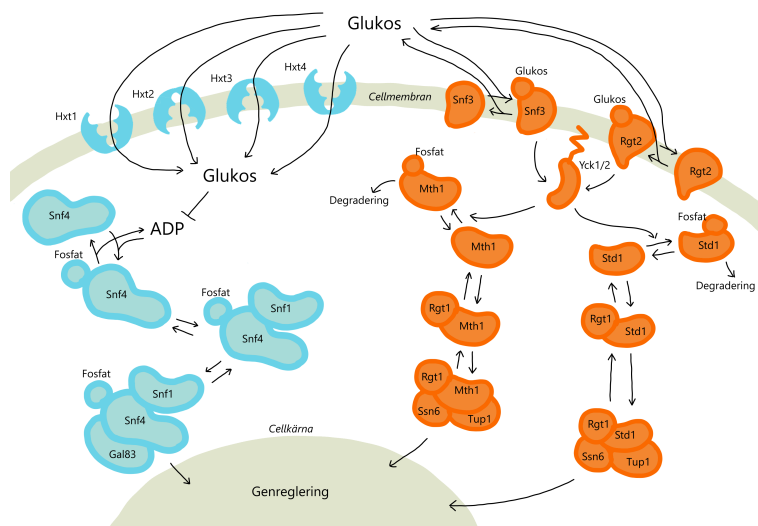
*S. cerevisiae* transporterar glukos och andra hexoser in i cellen med hjälp av hexostransportörer, benämnda Hxt1 till Hxt7 [19]. Glukosupptagningshastigheten är starkt korrelerad till antalet hexostransportörer, vilket innebär att glukosupptagningshastigheten kan styras väl genom att ändra transkriptionshastigheten av HXT-generna.

Det sju HXT-generna har liknande funktion men är aktiva och effektiva i olika glukoskoncentrationer med betydande överlapp [19]. Vid modellering räcker det därför att bara ett antal av generna inkluderas [6]. I Kutttykrishnans m.fl. artikel används HXT1-4 vilka även kommer användas i detta arbete.

Transkriptionshasitigheten av HXT-generna styrs av två kopplade nätverk. Induktionsnätverket ökar uttrycket av HXT-generna vid hög glukoskoncentration utanför cellerna och repressionsnätverket minskar uttrycket när energibehovet är lågt [6].

Induktionsnätverk mynnar ut i repressorn Rgt1 vilken nedreglerar uttryck av flertalet HXT-gener. För att fungera som repressor behöver Rgt1 binda de generella transkriptionsfaktorerna Ssn6 och Tup1 samt antingen Std1 eller Mth1. En effektiv degradering av Std1 och Mth1 initieras av fosforylering via kinaserna Yck1 eller Yck2 vilka blir aktiva när membranproteinerna Rgt2 och Snf3 har glukos bundna till sig.

Repressionsnätverket nedreglerar HXT-generna när cellen har ett lågt energibehov [6]. Med lågt energibehov menas att cellen har hög halt ATP vilket är ekvivalent med låg halt ADP. Det repressiva delnätverket utför nedreglering orsakad av repressorn Mig1. När glukosnedbrytning sker i delsystemet genom metabolism, hindras kinasproteinet Snf1 från att fosforylera Mig1. När Mig1 inte fosforyleras korrekt, blir konsekvensen att Mig1 nedreglerar bland annat de tre hexostransportörerna HXT2-4. Systemet i sin helhet illustreras i Figur 1.



**Figur 1: Schematisk överblick av *Saccharomyces cerevisiae* glukosregleringsnätverk.** Till vänster (blått) är repressionsnätverket vilket nedreglerar uttrycket av Hxt-generna och till höger (orange) är induktionsnätverket vilket istället uppregerar det. Pilar visar generellt övergångar mellan olika ämnen, men representerar från Yck1/2 hastighetspåverkan för reaktioner. Pilen från glukos till ADP visar att hög intracellulär glukoshalt minskar mängden ADP.

### 3.2 Dynamisk modellering av intracellulära processer

Inom biologi är det viktigt att kunna analysera system bestående av metaboliter, proteiner och gener, här gemensamt kallat substanser, via matematiska modeller. Detta är viktigt eftersom experimentella tillvägagångssätt är dyra, svåra och begränsade i vad de kan göra. Matematisk modellering möjliggör att kunna studera reaktioner och fenomen som inte går att undersöka explicit samt konsekvenserna av komplexa interaktioner. För biologiska system som ändras över tid görs detta lämpligen med kopplade ordinära differentialekvationer [20]. Dessa är normalt på formen

$$\frac{d[X]}{dt} = \text{Produktion av } X - \text{Förbrukning av } X, \quad (1)$$

där  $X$  är en substans i systemet. Lösningar av dessa system, som i regel görs via numerisk väg, kan ge en insikt om hur systemet fungerar och möjliggör förutsägelse av dess beteende.

Samtliga biokemiska reaktioner, studerade på nivån av endast ett reaktionssteg, kan uttryckas med hjälp av massverkans lag [20]. Den säger att hastigheten för en reaktion är proportionell mot reaktanternas koncentration, alltså koncentrationerna av de substanser som förbrukas. Som exempel kan reaktionen där två  $X$  slås ihop med varandra och bildar  $Y$  formuleras enligt,

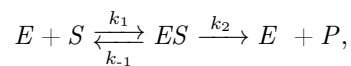
$$r = k[X]^2, \quad (2)$$

där  $r$  är reaktionshastigheten,  $k$  är hastighetskonstanten och  $[X]$  är koncentrationen av  $X$  [21]. Lagens universalitet gör den mycket användbar och därför används den i vår modell för degradering och translation.

Att modulera alla reaktioner med massverkans lag är däremot opraktiskt då vi måste känna till exakta reaktionsflödet samt hastighetskonstanten för varje steg i alla reaktioner. Därför används ofta olika förenklande antaganden. I *S. cerevisiae*s glukosnätverk finns fyra sorters biokemiska reaktioner, utöver redan presenterade degradering och translation som vår modell uppmärksammar [6]. I följande avsnitt presenteras *Michaelis-Mentens ekvation* och *Hills ekvation* som förenklande ekvationer samt *Quasi steady state (QSSA)* som förenklande antagande, vilka används till att formulera en användbar modell.

### 3.2.1 Michaelis Menten ekvationen - förenklande modell för enzym-substratreaktioner

Michaelis-Mentens ekvation är viktig för forskning inom det biokemiska fältet [22]. Ekvationen togs fram genom forskning på enzymet *Invertas*, i syfte att beskriva dess enzymatiska aktivitet. Ekvationen blir ett sätt att förenkla följande enzym-substratreaktion



där  $S$  symboliserar substratet som reversibelt binds in till ett enzym  $E$ :s aktiva säte [23]. De två enheterna bildar tillsammans ett komplex som i schemat benämns  $ES$ . Vid reaktionen bildas sedan  $P$  och enzym  $E$  frisläppas igen. Förloppet har tre tillhörande hastighetskonstanter.  $k_1$  är hastighetskonstanten för uppkomsten av komplexet  $ES$  från totalmängden substrat och det obundna enzymet [22]. Processen som resulterar i komplexet, gör att substratet delas in i kategorierna bundet och obundet substrat. Genom att anta ett substratöverskott för reaktionen kan dock andelen bundet substrat försummas och totalmängden substrat anses konstant. För reaktionen motsvarar sedan  $k_{-1}$  hastighetskonstanten för det komplexbundna substratet och enzymet att återgå till sina initialtillstånd  $E$  och  $S$ .  $k_2$  svarar slutligen mot den katalytiska hastighetskonstanten för den irreversibla reaktionen att omvandla komplexet till produkt och obundet enzym.

För reaktionen kan Michaelis-Mentens ekvation presenteras enligt följande

$$\frac{dP}{dt} = \frac{V_{max} \cdot [S]}{K_s + [S]}, \quad (3)$$

där  $V_{max}$  indikerar maximala hastigheten för allt enzym att bli bundet som komplex,  $K_m$  Michaelis-Menten-konstanten och slutligen  $S$  koncentrationen för substratet [22]. Uttrycket tas fram genom härledningen i Appendix D och sker under antagandena att reaktionen har ett substratöverskott

samt att delreaktionen för komplexbildningen sker under stationärt tillstånd [24]. I projektet används ekvationen för att härleda fram uttryck för HXT-genernas transport av glukos över cellmembranet.

### 3.2.2 Modell för genreglering - Hills ekvation

Ekvationer liknande Michaelis-Mentens ekvation används i många sammanhang inom biologi och medicin. En bred generalisering av dessa är Hills ekvation, presenterad nedan mellan de två generella variablerna  $x$  och  $y$  [25]:

$$y = \frac{y_{max} \cdot x^\alpha}{c^\alpha + x^\alpha}. \quad (4)$$

Ekvationen har utöver det tre generiska parametrar;  $y_{max}$ ,  $c$  och  $\alpha$ .

I projektet studeras ett nätverk med gener som har direkt samverkan för genregleringen. Eftersom transkription resulterar i produktion av mRNA kan ett systems tillstånd beskrivas genom dess koncentration vid en tid  $t$  i systemet [26]. För analys där man betraktar celler med identiska mekanismer för uttryck av en samstämmig uppsättning gener, kan därför dess mRNA-produktion uttryckas genom en första ordningens hastighetsekvation:

$$\frac{d[mRNA]}{dt} = V_{max} \cdot c - k[mRNA]. \quad (5)$$

I ekvationen beskriver  $V_{max}$  den producerade DNA-koncentrationen per sekund givet att samtliga gener bidrar till transkriptionen.  $k$  symboliserar degraderingshastigheten för mRNA medan  $c$  är den andel av generna som utför transkriptionen. I djupare detalj kan  $c$  uttryckas

$$c = \left( 1 - \prod_{i \in R^+} \frac{1}{(1 + \theta_i)^{S_i}} \right) \prod_{i \in R^-} \frac{1}{(1 + \theta_i)^{S_i}}, \quad (6)$$

där  $R^+$  och  $R^-$  är de gener som verkar för produktion av transkriptionsfaktorerna som blir aktiva-torer respektive repressorer för transkriptionen [26].  $\theta_i$  motsvarar styrkan som transkriptionsfaktorn  $i$  binder till genen, vilket kan likställas med hur effektiv repressionen eller aktiveringen är.  $S_i$  är antalet platser faktorn kan binda.

Under förutsättningen att nätverket uteslutande har repressorer och att dessa enbart besitter en lämplig bindingsplats kan uttrycket förkortas till:

$$\frac{d[mRNA]}{dt} = V_{max} \prod_{i=1}^n \frac{1}{1 + \theta_i [R_i]} - k[mRNA]. \quad (7)$$

Uttrycket används för att kunna modellera repressorernas inverkan på transkriptionen av de diverse mRNA:n som finns i glukosnätverket.

### 3.2.3 Quasi steady state - förenklande hastighetsantagande för snabba reaktioner

Hastigheten  $r$  för biokemiska reaktioner kan i hög grad variera beroende på vilken sorts reaktion som studeras. Skillnader i tidsskalor för reaktionerna gör simuleringen för systemets beteende över

tid väldigt svårberäknad utan att tillämpa förenklingar [20]. Därför används Quasi steady-state antagandet *QSSA*. Det antagandet säger är att beroende variabler för systemet kan antas vara i stationärt tillstånd med avseende på andra systemvariabler, givet att reaktionen för den berörda variabeln sker under hög hastighet [27]. Antagandet innebär att en differentialekvation ersätts med en jämviktsreaktion. I arbetet tillämpas *QSSA* för bindningar mellan två proteinmolekyler samt för fosforylering. I systemet är de beroende variablerna koncentrationer.

### 3.3 Modellkonstruktion

Informationen presenterad i föregående avsnitt är en grund på vilken det går att utveckla en numeriskt lösbar ODE-modell. Denna kommer att ha formen

$$\mathbf{C}_t = \text{ODEmodell}(\mathbf{C}_0, \boldsymbol{\theta}, t), \quad (8)$$

och kan bestämma slutkoncentrationerna  $\mathbf{C}_t$  vid tiden  $t$  utifrån parametervärdena  $\boldsymbol{\theta}$  och initialkoncentrationerna  $\mathbf{C}_0$ . Ett stort problem är dock att det i många modeller existerar parametrar  $\boldsymbol{\theta}_e$  vilka inte kan bestämmas experimentellt utan måste estimeras. Hur detta görs presenteras i kommande avsnitt.

### 3.4 Härledning av minimeringsproblem för okända parametrar

Värdet på parametrarna  $\boldsymbol{\theta}_e$ , introducerade i avsnittet ovan, ska bestämmas sådant att modellen beter sig så likt som möjligt som den experimentella datan. För att göra det introduceras här ett minimeringsproblem vilket löser detta. Avsnittet är baserat på *Notes for Predictive Modeling* av E. García-Portugués och är anpassat till arbetets sammanhang [28].

Parametrarna med okända värden  $\boldsymbol{\theta}_e$  i en modell går att estimeras om det finns data över hur modellen beter sig. De okända parametrarna betraktas lämpligen som stokastiska variabler där ett experiment är en sampling. Sannolikheten för att observera koncentrationerna  $\mathbf{y} = \{y_1, \dots, y_i\}$  givet initialkoncentrationerna  $\mathbf{x}$  och parametervärdena  $\boldsymbol{\theta}_e$  kan formuleras enligt följande, om vi antar normalfördelningar med oberoende fel och samma varians [28].

$$\mathbf{y}|\mathbf{x} \sim \mathcal{N}(\text{ODEmodell}(\mathbf{x}, \boldsymbol{\theta}_e), \sigma) \quad (9)$$

Observera att  $\mathbf{x}$  kan innefatta andra substanser än  $\mathbf{y}$  och att  $\mathcal{N}(f(\mathbf{x}), \sigma)$  är en normalfördelning med standardavvikelsen  $\sigma$  och väntevärde enligt funktionen  $f(\mathbf{x})$ .

Om vi studerar  $j$  observationer  $\mathbf{Y} = \{\mathbf{y}_1, \dots, \mathbf{y}_j\}$  med initialvillkor  $\mathbf{X} = \{\mathbf{x}_1, \dots, \mathbf{x}_j\}$  kan vi formulera ett uttryck för den totala sannolikheten enligt följande

$$\mathbf{Y}|\mathbf{X} \sim \prod_{i=0}^j \mathcal{N}(\text{ODEmodell}(\mathbf{x}_i, \boldsymbol{\theta}_e), \sigma). \quad (10)$$

Vi vill att vår modell stämmer överens med observerad data så bra som möjligt. En mer exakt formulering är att vi vill finna  $\boldsymbol{\theta}_e$  sådant att en stokastisk variant av vår modell ska ha så stor sannolikhet som möjligt för observerad data. Därför definierar vi likelihoodfunktionen  $\mathcal{L}$  som värdet på täthetsfunktionen för  $\mathbf{Y}|\mathbf{X}$  med parametervärdena  $\boldsymbol{\theta}_e$ :

$$\mathcal{L}(\theta) := \prod_{i=0}^j \frac{1}{\sigma\sqrt{2\pi}} e^{-\frac{1}{2\sigma^2}(\mathbf{y}_i - \text{ODEmodell}(\mathbf{x}_i, \theta_e))^2}. \quad (11)$$

Vår maximum-likelihood estimation fås genom att finna maximum av  $\mathcal{L}(\theta_e)$ , vilket är ekvivalent med att finna maximum av dess logaritm  $\ell(\theta_e)$ , då logaritmen är en monotont ökande funktion. Detta tar bort problemet med de små värden likelihood funktionen normalt har.  $\mathcal{L}(\theta_e)$  får uttrycket

$$\ell(\theta_e) = -\log\left(\frac{1}{\sigma\sqrt{2\pi}}\right) - \frac{1}{2\sigma^2} \sum_{i=0}^j (\mathbf{y}_i - \text{ODEmodell}(\mathbf{x}_i, \theta_e))^2. \quad (12)$$

Konstanterna påverkar inte optimeringen, förutom för proportionalitetskonstanternas tecken, vilket möjliggör att optimeringsproblemet att minimera kostnadsfunktionen kan formuleras som

$$\min_{\theta_e} \sum_{i=0}^j (\mathbf{y}_i - \text{ODEmodell}(\mathbf{x}_i, \theta_e))^2. \quad (13)$$

Detta problem saknar generell analytisk lösning då beräkandet av kostnadsfunktionen involverar differentialekvationer som saknar explicita lösningar. Därmed krävs en kontinuerlig optimeringsalgoritm.

### 3.5 Kontinuerlig optimering

För en funktion, så som kostnadsfunktionen (13) presenterad i Avsnitt 3.4, finns numeriska metoder för att finna dess minimum. Två vanliga metoder för att optimera kontinuerliga funktioner är Newtons metod och Steepest descent [29].

#### 3.5.1 Steepest descent

Steepest descent-metoden är en av de äldsta och enklaste metoderna för att minimera en generell olinjär funktion. Strategin går ut på att funktionsvärdet minskar om vi går i riktning av den negativa gradienten [30]. Metoden kan allmänt beskrivas enligt,

$$\theta_{i+1} = \theta_i + \alpha_i \cdot (-\nabla f(\theta_i)), \quad (14)$$

där  $\alpha_i$  är steglängden och gradienten av funktionen betecknas av  $\nabla f(\theta_i)$  [31].  $\theta_i$  är värdet på den punkt som startas ifrån och  $\theta_{i+1}$  är det nya  $\theta$ -värdet. En betydande nackdel med Steepest descent är att metoden har en mycket långsam konvergeringshastighet [30]. Utmaningen blir då att finna en passande steglängd så att konvergeringshastigheten blir så bra som möjligt. Även om metoden är långsam är en stor fördel att den alltid garanterar en nedåtående riktning.

#### 3.5.2 Newtons metod

Newtons metod utnyttjar, till skillnad från Steepest descent, andra ordningens approximation av funktionen vid en punkt för att hitta en nedåtstigande riktning [29]. Algoritmen Newtons metod använder är följande:

$$\boldsymbol{\theta}_{i+1} = \boldsymbol{x}_i - \alpha_i \cdot (\nabla^2 f(\boldsymbol{\theta}_i))^{-1} \cdot \nabla f(\boldsymbol{\theta}_i), \quad (15)$$

där  $\nabla^2 f(\boldsymbol{\theta}) \in \mathbb{R}^{k \times k}$  är hessianen för funktionen  $f$ ,  $\nabla f(\boldsymbol{\theta}) \in \mathbb{R}^k$  är gradienten av funktionen  $f$  och  $k$  är längden av vektorn  $\boldsymbol{\theta}$ . Härledningen hittas i Appendix E.

För minimering fungerar metoden endast om hessianen är positivt definit för varje punkt, då en negativt definit hessian medför att algoritmen kommer gå mot ett lokalt maximum. Om detta är fallet för en stor del av parameterrummet till funktionen blir därför Steepest descent en lämpligare metod att använda.

För Steepest decent och Newtons metod krävs värden på gradienten, respektive hessianen. En mycket användbar metod för att beräkna dem är automatisk differentiering vilken presenteras i Appendix B. Med dessa verktyg kan minimeringsproblemet (13) lösas. Dock ger denna lösning ingen insikt i hur pålitliga de estimerade parametrarna från optimeringen är. Till detta behövs en identifieringsanalys.

### 3.6 Identifierbarhetsanalys

När parametrarna i stora biologiska modeller är kalibrerade för att bäst anpassas till den experimentella datan, kan mer och viktig information av modellen ges genom identifierbarhetsanalys [32]. Identifierbarhetsanalys av parametrar bedömer om det är teoretiskt möjligt att estimeras specifika parametrar, och om dessa inte går att estimeras kallas de icke-identifierbara [33].

Profile likelihood är en effektiv identifierbarhetsanalysmetod för att upptäcka dessa icke-identifierbara parametrar. Dessutom kan metoden hjälpa oss att förstå olika typer av icke-identifierbarhet [32]. Metoden går ut på att en parameter  $\theta_i \in \boldsymbol{\theta}_e$  sätts till ett konstant värde som är förskjutet från det optimerade värdet. Därefter optimeras kostnadsfunktionen  $\chi^2(\boldsymbol{\theta})$  med avseende på resterande parametrar. Detta kan beskrivas enligt

$$\chi_{PL}^2 = \min_{\theta_j \neq i} [\chi^2(\boldsymbol{\theta})], \quad (16)$$

där  $\chi_{PL}^2$  representerar profile likelihood-funktionen [32]. Detta upprepas för värden både över och under estimeringen av  $\theta_i$  så att profilering fås kring optimum av  $\theta_i$ . Detta erhåller hur kostnadsfunktionen varierar kring  $\theta_i$  vilket innebär att vi kan erhålla ett konfidensintervall för  $\theta_i$ . Vi kan nu definiera två olika typer av icke-identifierbara parametrar.

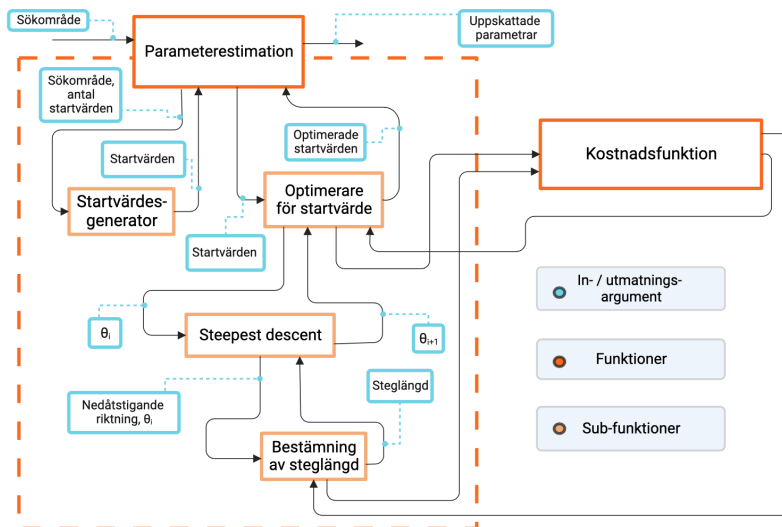
En parameter kan dels vara strukturellt icke-identifierbar, vilket innebär att en ändring av parametern inte nödvändigtvis förändrar hur modellen ser ut då en ekvivalent förändring kan erhållas av att ändra andra parametrar [34]. Strukturellt icke-identifierbara parametrar kan inte definieras alls då de har ett oändligt konfidensintervall  $[-\infty, \infty]$  och även är oberoende av hur mycket data som samlats in [32].

Parameterar kan också vara praktiskt icke-identifierbar, vilket sker då det inte finns tillräckligt med, eller för dålig kvalitet, av data för att bestämma den [32]. Till skillnad från strukturellt icke-identifierbara parametrar är en parameter praktiskt icke-identifierbar om konfidensregionen för parametern är oändligt utsträckt i minst en riktning.

## 4 Metod

Arbetsgången i projektet har bland annat innefattat att förstå och analysera modellen från artikeln av Kuttykrishnan m.fl., att formulera ODE:er och att optimera parametervärden. En stor del av arbetet har gått till att strukturera och skriva kod som illustreras schematiskt i Figur 2 och 3, vilket presenteras mer detaljerat i kommande delavsnitt.

All kod är skriven i programmeringsspråket Julia (version 1.8.5) [35]. Källkoden finns att erhålla i Appendix G samt på GitHub via <https://github.com/oerp0315/kandidatarbete>.



**Figur 2: Översiktlig struktur över parameterestimationen samt hur den interagerar med kostnadsfunktionen.** Varje funktion tar in pilarna till vänster och returnerar pilarna åt höger. Pilarna under en funktion går till funktioner som kallas på, när den evalueras. När kostnadsfunktionen kallas på beräknas antingen dess funktionsvärde eller dess gradient.

### 4.1 Optimering av modellens parametrar

Parameterestimationen har genomförts genom att finna minimum av kostnadsfunktionen. Denna process visualiseras i Figur 2. Utifrån startvärden inom ett visst område har Steepest descentmetoden använts för att hitta en punkt med lägre funktionsvärde, varav steglängden har anpassats för vardera steg som tagits. Beräkningarna för optimeringen har skett i logaritmerad skala.

#### 4.1.1 Användning av Steepest descentmetoden

För att optimera modellens parametervärden användes Steepest descentmetoden. Detta beror på att vi fann att en stor majoritet av punkterna i funktionen inte hade en hessian som var positivt definit, vilket diskuteras i Avsnitt 3.5.

För att hitta nästa punkt i en nedåtgående riktning med användning av metoden, utgicks (14) ifrån. Den nya punkten  $\theta_{i+1}$  hittades med

$$\theta_{i+1} = \theta_i + \alpha \cdot d, \quad (17)$$

där  $\theta_i$  representerar den nuvarande punkten,  $\alpha$  steglängden och  $d$  riktningen för steget. Riktningen

beräknades genom att dividera den negativa gradienten med normen av gradienten vilket gav oss en enhetsvektor i den mest nedåtgående riktningen. Om den nya punkten befann sig utanför de satta gränserna projekterades den tillbaka till gränsvärdet.

För att beräkna gradienten användes ForwardDiff.jl (version 0.10.35) i Julia [36].

#### 4.1.2 Bestämning av steglängd

Ett steg i en punkts nedåtgående riktning garanterar inte ett mindre funktionsvärde då en minimipunkt kan passeras. För att undvika ett för långt steg halverades steglängden för varje iteration tills att kravet av ett mindre funktionsvärde för den nya punkten uppfylldes. Steglängden  $\alpha$  hade ett startvärde på 1.0. Om ingen av de testade steglängderna uppfyllt det angivna kravet efter 50 iterationer avbröts försöket.

#### 4.1.3 Termineringskrav

Det maximala antalet steg som tilläts per startvärde var 1000 och för att undvika att många onödiga steg togs användes termineringskrav som kunde avbryta optimeringen tidigare. De tre termineringskraven som implementerades är följande:

$$\|\nabla f(\boldsymbol{\theta}_{i+1})\| \leq \varepsilon(1 + |f(\boldsymbol{\theta}_{i+1})|) \quad (18a)$$

$$f(\boldsymbol{\theta}_i) - f(\boldsymbol{\theta}_{i+1}) \leq \varepsilon(1 + |f(\boldsymbol{\theta}_{i+1})|) \quad (18b)$$

$$\|\boldsymbol{\theta}_i - \boldsymbol{\theta}_{i+1}\| \leq \varepsilon(1 + |\boldsymbol{\theta}_{i+1}|), \quad (18c)$$

där  $L^2$ -normen användes [29].  $\boldsymbol{\theta}_i$  är punkten vid den aktuella iterationen inom optimeringen för ett specifikt startvärde och  $\boldsymbol{\theta}_{i-1}$  är punkten vid föregående iteration.  $\varepsilon$  sattes i implementeringen till  $10^{-3}$ . Det första termineringskravet (18a) uppnås om gradienten är för liten. Termineringskrav två (18b) jämför funktionsvärdet med det för föregående punkt medan det tredje (18c) avgör om steglängden anses för liten. Om minst två av tre termineringskrav uppnåddes avbröts optimeringen för det aktuella startvärdet.

#### 4.1.4 Begränsningar i sökområdet

För att söka efter ett minimum i kostnadsfunktionen krävs ett specificerat område där optimeringen sker. Inledningsvis sattes en övre och en undre gräns på samtliga parametrar till  $10^{-3}$  respektive  $10^3$ . Gränserna för parametrarna justerades därefter utefter vad parametrarna hos minimipunkten tenderade mot. Exempelvis om en parameters optimala värde från en optimering låg precis vid dess övre eller undre gräns utökades gränsen i den riktningen för att ge parametern mer utrymme. Detta för att sökområdet skulle innehålla kostnadsfunktionens globala minimum.

#### 4.1.5 Generering av startvärden

Då det inte är garanterat att en minimipunkt som ges av optimeringsalgoritmen är en global minimipunkt är det väsentligt att utgå från många olika startpunkter. Dessa bör vara väl utspridda för att med större sannolikhet lyckas hitta det globala minimumet. Latin hypercube-sampling är den metod som användes för att få slumpade punkter jämnt utspridda i parameterrymden [37]. Detta genomfördes genom att spannet av vardera variabel delades in i lika stora delar och att ett värde valdes slumpvis från varje intervall. Därefter parades de slumpade punkterna från varje variabel

ihop på ett sådant sätt att varje variabel blev oberoende av varandra. Det innebar att varje genererad punkt blev unik för ett specifikt intervall från varje variabel.

De värden som returnerades av metoden kunde därefter användas som startpunkter i minimeringsalgoritmen. För parameterestimationen genererades 1000 startvärden med hjälp `Random.jl` för att generera slumpade tal.

## 4.2 Identifierbarhetsanalys med profile likelihood

För att profilera kostnadsfunktionen genom profile likelihood hölls en parameter i taget konstant medan resterande parametrar optimerades med samma metod som beskrivs i Avsnitt 4.1. Efter att parametrarna optimerats minskades värdet på den konstanta parametern med en adaptiv steglängd och de övriga parametrarna optimerades på nytt. Steglängden bestämdes utifrån sambandet

$$\chi^2(\boldsymbol{\theta}_{last} + \boldsymbol{\theta}_{step}) - \chi^2(\boldsymbol{\theta}_{last}) \approx q \cdot \Delta_\alpha, \quad (19)$$

där  $\boldsymbol{\theta}_{last}$  motsvarar parametervärdet från den senaste iterationen och  $\boldsymbol{\theta}_{step}$  den steglängd för parametern som profileras [32]. Differensen för funktionsvärdena ska alltså infalla sig vid tröskelvärdet  $\Delta_\alpha$  multiplicerat med en faktor  $q$ . Tröskelvärdet som användes är en  $\chi^2$ -fördelning med 95% signifikans med en frihetsgrad, vilket gav

$$\Delta_\alpha = \chi^2(\alpha, df) = \chi^2(0.05, 1) = 3.84. \quad (20)$$

Faktorn  $q$  sattes till 0.1 [32]. Detta upprepades maximalt 100 gånger eller tills att parametern gått utanför sitt konfidensintervall som definierades av  $\boldsymbol{\theta}$  givet att

$$\chi^2(\boldsymbol{\theta}) - \chi^2(\hat{\boldsymbol{\theta}}) < \Delta_\alpha, \quad (21)$$

där  $\hat{\boldsymbol{\theta}}$  är de optimerade parametrarna. Därefter upprepades samma process men med en ökning istället för minskning av parametervärdet.

Den initiala steglängden som testades för när det konstanta parametervärdet skulle ändras, var  $10^{-3}$  multiplicerat med det aktuella parametervärdet. Detta för att göra steglängden relativ till storleken av parametern. Om differensen mellan funktionsvärdena i (19) var för liten ökades steglängden tvåfaldigt och likaså halverades den när differensen var för stor.

## 4.3 Kostnadsfunktionen och ODE-lösare

I styckena ovan har kostnadsfunktionen beskrivits som en abstrakt funktion vi vill finna minimum av. Detta avsnitt beskriver dess struktur och hur funktionen fungerar. Kopplat till det beskrivs även hur vi kan lösa ODE-systemet över tid.

Avsnitt 3.4 introducerade kostnadsfunktionen vi vill finna minimum av som

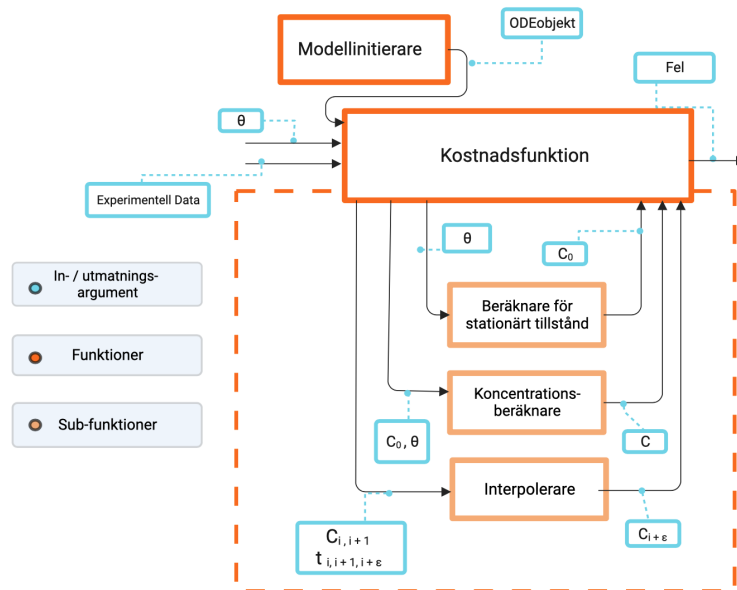
$$f(\boldsymbol{\theta}) = \sum_{i=0}^j (\mathbf{y}_i - \text{ODEmodell}(\mathbf{x}_i, \boldsymbol{\theta}))^2, \quad (22)$$

där  $\mathbf{x}_i$  är initialkoncentrationerna för alla substanser,  $\mathbf{y}_i$  är slutkoncentrationerna för några substanser och  $j$  är antalet experimentella förhållanden med avseende på tid, initialkoncentration och

variationer på systemet.

Den experimentella datan  $\mathbf{Y} = \{\mathbf{y}_1, \dots, \mathbf{y}_j\}$  tillhör fyra mängder. De första två mängderna innehåller koncentrationerna av mHXT1, mHXT2, mHXT3 och mHXT4 vid regelbundna tidpunkter efter spädning med 0,1% respektive 0,2% glukos. De andra två har mätt koncentrationen av mHXT4 över tid då 0,1% glukos tillsatts till celler där antingen genen för Rgt1 eller Mig2 slagits ut. Utslagningen innebär att proteinerna inte längre produceras.

Kostnadsfunktionens struktur presenteras i stora drag i Figur 3. Övriga funktioner presenteras mer detaljerat i kommande stycken.



**Figur 3: Översiktlig struktur av kostnadsfunktionen och de primära funktionerna den använder.** Varje funktion tar in pilarna till vänster och returnerar pilen åt höger. Pilarna under en funktion går till funktioner som kallas på när den evalueras. Kostnadsfunktionen kallar på funktionerna under den i ordning nedifrån och upp.

#### 4.3.1 Modellinitierare

Denna funktion initierade ett ODE-system vilket användes av andra funktioner för att beräkna koncentrationerna. I projektet formulerades differentialekvationer för systemets reaktioner i delnätverken för induktion och repression. Dessa sågs därefter över i syfte att förkorta bort eller förenkla ekvationerna och därmed minska komplexiteten. Simplifieringarna berördes detaljerat i Avsnitt 3.2.

ODE-erna formulerades i strukturen för ModellingToolkit.jl (version 8.55.1) [38]. I denna definierades 11 parametrar och den extracellulära glukosen, där parametrarna motsvarar systemets okända värden. Dessa går att observera i Figur 4 som systemets blåmfärgade pilar. Värdet på de kända parametrarna togs från den data som fanns publicerad i artikeln av Kuttykrishnan m.fl. Funktionen *structural\_simplify* från ModellingToolkit.jl användes slutligen för att skriva om ODE:erna så att systemet blev automatiskt lösbart för ODE-lösaren.

För att kunna testa systemet när gener slagits ut, introducerades två kontrollparametrar. Dessa sattes till ett värde av noll när tidsderivatan av mRGT1 respektive mMIG2 skulle ha tidsderivatan noll, och i övriga fall till värdet ett.

### 4.3.2 Koncentrationsberäknare

Målet med att etablera *Koncentrationsberäknaren* var att få returnerat systemets substanskoncentrationer över tid, genom att låta en ODE-lösare lösa det framtagna ODE-systemet. Detta under förutsättningen att parametrar och initialvillkor uppdaterades för systemet vid varje upprepning, samtidigt som lösarens arbetstid varierats.

Funktionen tog in ODE-systemet och uppdaterade dess parametervärden, initialkoncentrationer och sluttid med *Remake* ur *DifferentialEquations.jl* (version 7.7.1) [39]. Därefter löstes problemet över tid med ODE-lösaren *Rodas5P* med en absolut och relativ tolerans på  $10^{-8}$ .

### 4.3.3 Interpolerare

För att uppfatta hur väl modellens parameterprediktioner förhöll sig till verkligheten krävdes en jämförelse mellan den experimentella datan och modellens prediktioner. Eftersom mätdatan var begränsad till ett fåtal tidpunkter, introducerades en interpolerare i syfte att kunna få fram koncentrationer för nya tidpunkter att inkludera i jämförelsen. I modellens *Interpolerare* matades två beräknade koncentrationer ( $C_{i, i+1}$ ) in med dess motsvarande tidpunkter ( $t_{i, i+1}$ ) tillsammans med en ytterligare tidpunkt ( $t_{i+\epsilon}$ ), för att kunna returnera en linjärinterpolerad koncentration vid  $t_{i+\epsilon}$ .

### 4.3.4 Beräknare för stationärt tillstånd

För att kunna lösa ODE-systemet kräver ODE-lösaren initialkoncentrationerna av alla substanser. Dessa är inte kända. För att lösa detta läts systemet gå till stationärt tillstånd med en extracellulär glukoshalt satt till noll likt experimentella datan.

Initialkoncentrationerna beräknades av en separat funktion vilken tog in parametervärden och beräknade koncentrationerna då systemet nått stationärt tillstånd. Detta genomfördes genom att starta med samtliga initialkoncentrationer som noll och köra systemet utan extracellulär glukoshalt. Systemet kördes tills det var tillräckligt nära stationärt tillstånd, det vill säga att derivatan var nära noll. Villkoret för detta formuleras enligt

$$\frac{1}{\text{Antal subs.}} \left( \sum_{i \in \text{subs.}} \left( \frac{dC_i}{dt} \frac{1}{C_i \text{reltol.} + \text{abstol.}} \right)^2 \right)^{1/2} < 1, \quad (23)$$

där relativ och absolut tolerans sattes till 100 gånger lägre än gränserna för andra ODE-lösaren, alltså  $10^{-8}/100$ .

Stoppandet av ODE-lösaren implementerades med en *DiscreteCallback* från *DifferentialEquations.jl* (version 7.7.1) vilken inkluderas i *ModellingToolkit.jl* [40].

### 4.3.5 Anpassning av kostnadsfunktionen och dess sub-funktioner för att möjliggöra optimering

I optimeringen beräknades derivatan av kostnadsfunktionen med hjälp av automatisk differentiering vilket innebär att funktionen måste kunna ta in dualtal och propagera dessa till funktionsvärdet. Då *DifferentialEquations.jl* kan hantera dualtal innebär det endast att alla koncentrationer, samt extra parametrar alltså glukoskoncentration och kontrollparametrarna, konverterades till samma typ som parametrarna kostnadsfunktionen tog in.

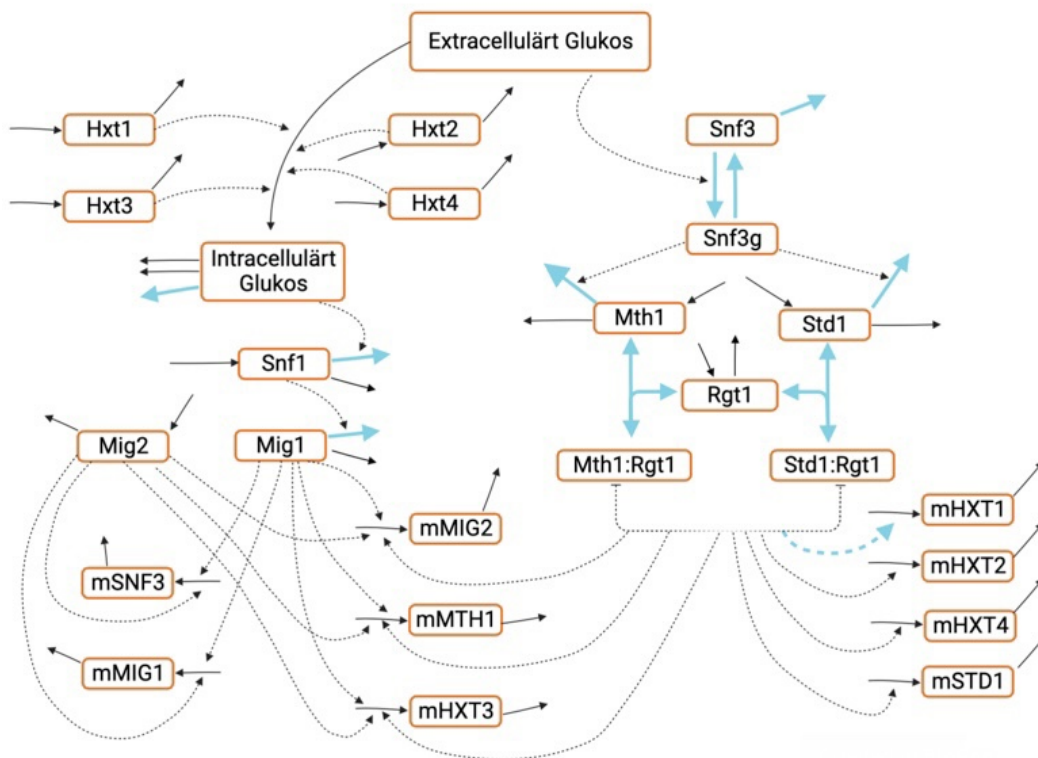
## 5 Resultat

Resultatet är upplagt i två delar, där den första presenterar modellen som utvecklats för att beskriva regleringsnätverket för glukosupptagning av *S. cerevisiae*. Den andra delen visar resultaten för parameterestimationen av de okända parametrarna i systemet.

### 5.1 Sammanfattning av systemets kinetik

Utifrån de antaganden och förenklingar som presenteras i Avsnitt 3.2 kunde uttryck för glukosregleringen hos jästen formuleras. Uttrycken har formulerats utifrån delnätverkens sex olika sorters reaktioner: degradering, translation, transmembrantransport, transkription, protein-protein interaktion och fosforylering formuleras. När vi formulerade ekvationerna behövde dock några fler antaganden tillämpas för att få ihop kompletta differentialekvationer för samtliga komponenter i regleringen.

Komplett data saknades för membranproteinerna Snf3 och Rgt2, vilka besitter samma funktion i induktionsnätverket. Problemet åtgärdades därför genom att endast inkludera Snf3 i modellen och komplettera avsaknad data med degraderings- och translateringshastighet tagen från Rgt2. Yck1 och Yck2 är nästa delsteg i induktionsnätverket. Kinaser är relativt ostuderade och är helt uteslutna från den artikel av Kuttykrishnan m.fl. som studerats. Eftersom ingen data finns att erhålla för paret förenklades dessa ur modellen genom att anta stationärt tillstånd. ADP i det repressiva delnätverket togs därefter ur modellen med argumentet att aktiveringen av ATP och ADP står i jämvikt i systemet. Jämvikten innebär att mängden intracellulärt glukos är direkt korrelerad till mängden ADP. På det sättet kunde uttrycket för ADP tas ur modellen. Systemet som erhöles efter de slutgiltiga antagandena hade 23 differentialekvationer och en algebraisk ekvation. Dessa illustreras schematiskt i Figur 4 och finns nedtecknade i Appendix C.



**Figur 4: Schematisk bild över ODE-systemet utifrån glukosnätverkets kinetik.** Det högra flödet symboliserar induktionnätverket och det vänstra det repressiva. Hela enkelriktade pilar i figuren representerar reaktioner där substanser bildas, degraderas eller bildar en annan substans. Streckade pilar innebär att de influerar hastigheten av en annan reaktion och dubbelriktade att de representerar en jämviktsreaktion. Blåa pilar representerar reaktioner med ett okänt parametervärde som därför måste uppskattas. Observera att hastigheten för bildning av proteiner är proportionell mot mängden av dess mRNA vilket inte illustreras i figuren.

I Figur 4 finns 11 reaktioner vilka alla har en parameter vars värde saknas. Dessa reaktioner illustreras i figuren som blåa pilar och parametrarna benämns genomgående i rapporten som  $\theta_e$ . Alla  $\theta_e$  måste bestämmas för att kunna använda modellen. Parametrarna  $\theta_{Mig1:Snf3}$  och  $\theta_{Mig2:MIG1}$  från Kutykrishnan m.fl. är inte mer exakt givna än 0.000 vilket gör att även dessa inkluderats som okända parametrar i vissa modeller [6].

## 5.2 Implementering av testmodell

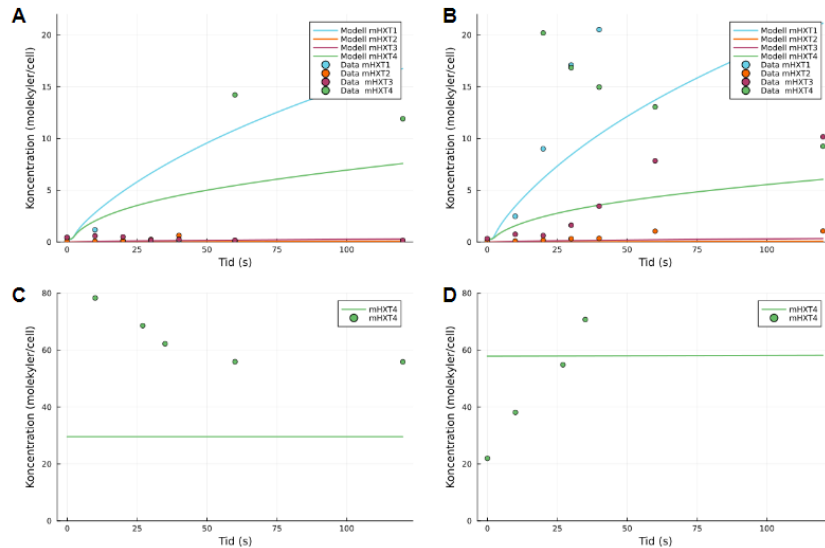
Som steg i byggandet av vår modell konstruerades enklare modeller för att testa delar av systemet. En mycket enkel modell och optimering på denna presenteras utförligt i Appendix F. Från optimeringen för den här modellen erhöles parametervärden som var mycket nära de sanna värdena. En identifierbarhetsanalys av parametrarna visar att de är praktiskt icke-identifierbara vilket förväntades då parametrarna är starkt korrelerade.

## 5.3 Estimering av modellparametrar

För optimering av parametrarna i glukosregleringsmodellen har olika varianter av modellen och datan använts. Först kördes koden med exkludering av datan från muterade celler och i alla följande tester inkluderades den. Då alla experiment replikerats en gång testades därefter att använda

deras medelvärde istället för båda två. Detta gjordes då datan från de muterade cellerna inkluderades. Slutligen genomfördes samma sak men med en utökad variant av modellen som inkluderade  $\theta_{Mig1:Snf3}$  och  $\theta_{Mig2:MIG1}$  som okända parametrar. Ingen av genererade parameterestimationer följde experimentell data på något betydande sätt. Nedan presenteras resultaten för sista modellen som testades.

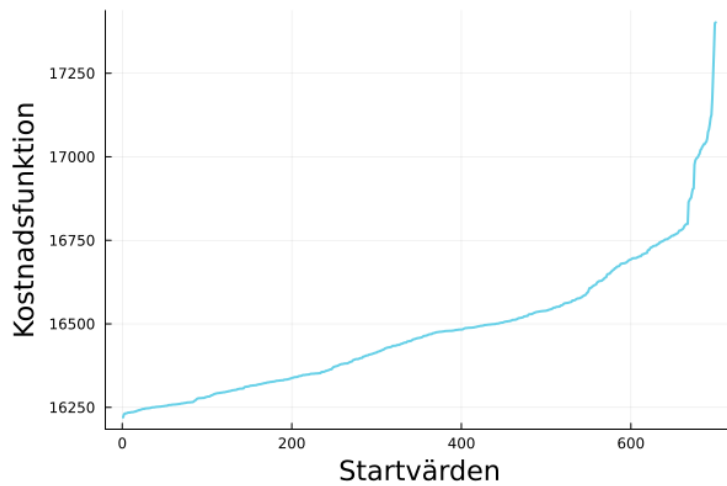
Första kolumnen i Tabell 2 visar bästa estimationen på optimeringen. Denna användes till att lösa ODE-systemet över tid, vilken sedan har jämförts med experimentell data i Figur 5. För en välfungerande modell bör skillnaden mellan modellen av experiment vara liten.



**Figur 5: Jämförelse av modell och datan den har optimerats på för de fyra generna HXT1-4.** De fyra experimenten är **A)** 0.1% glukos tillsatt, **B)** 0.2% glukos tillsatt, **C)** 0.1% glukos tillsatt till kultur med RGT1 utslagen samt **D)** 0.1% glukos tillsatt till kultur med MIG2 utslagen. För en bra modell ska modellen röra sig nära experimenten.

## 5.4 Konvergens av optimum för parameter uppskattningen

Figur 6 visar en överblick över de erhållna funktionsvärdena som nåddes för varje startpunkt, sorterade i storlek av kostnad. Notera att antalet startvärden har trunckerats till de 650 lägsta av alla 1000. Om globala optimum hade hittats, förväntades flera av startvärdena nå samma punkt och därmed samma kostnad, vilket figuren inte visar. Detta då förutsättningarna hade resulterat i platta regioner för grafen.



**Figur 6: Överblick över 650 av de 1000 bästa funktionsvärdena.** De optimerade funktionsvärdena har sorterats i storleksordning för att kunna se trender i var de optimerade punkterna hamnar. Är kurvan plan nägonstans i grafen har troligtvis en del av startvärdena konvergerat till samma minimum.

Även de bästa estimationerna som erhöles gav stor spridning i parametrarnas värden (Tabell 2). Detta ger en ytterligare indikation på att parametervärdena inte konvergerar till ett globalt minimum.

**Tabell 2:** Jämförelse av de sex bästa estimationerna som erhöles från de 1000 startvärdena. Notera att parametrarna har olika enheter, det väsentliga är jämförelsen av samma parameter mellan olika optimerade parametervärden

Parameter	Parameterärde						*
$k_{a,Snf3}$	0.797	1.46	1.2	97.1	0.0795	180.0	-
$k_{i,Snf3g}$	68.9	50.6	73.1	850000.0	63.3	211000.0	-
$k_{i,Std1}$	7000.0	8660.0	5240.0	1560.0	8990.0	149.0	5.98e-8
$k_{i,Mth1}$	0.0159	0.0521	0.0847	0.35	0.00047	0.00457	0.01
$K_{Mth1:Rgt1}$	17.3	75.3	57.8	271.0	0.607	6.51	0.01
$K_{Std1:Rgt1}$	0.00867	0.0309	7.77	0.0703	8.2	2.62	0.002
$k_{i,Snf1}$	0.000124	0.000674	0.00374	2.47e-6	0.00327	8.59e-8	1.21
$k_{i,Mig1}$	304.0	77200.0	1410.0	180.0	5830.0	70.6	4.97
$k_{p,ATP}$	112.0	3.43	454.0	2.77	197.0	0.481	9.99e9
$\theta_{Mig1,Snf3}$	0.000308	6.35e-9	1.49e-6	0.00055	1.75e-8	0.00125	0.000 **
$T_{mHXT1}$	235.0	154.0	2180.0	77.2	324.0	136.0	0.130
$\theta_{activation}$	0.000136	1.32e-5	0.00322	2.51e-7	0.000171	2.1e-7	3.01
$\theta_{Mig2,MIG1}$	24000.0	133000.0	108.0	685000.0	6.37e6	409.0	0.000 **
<b>Funktionsvärde</b>	16220.24	16229.03	16231.5	16231.99	16232.16	16233.45	-

\* Estimerade parametrar från artikeln av Kuttykrishnan m.fl.

\*\* Dessa parametrar är direkt bestämda i artikeln och inte optimerade.

## 5.5 Jämförelse av beräkningshastighet

Sista modellen som testades tog 13 timmar på en Intel Core i7-13700K med 32GB ram. Test av de olika delberäkningarna presenteras i Tabell 3.

**Tabell 3:** Tiden olika operationer som är del av optimering tog. Varje gång kostnadsfunktionen evalueras löses ODE-systemet 7 olika gånger. Testerna genomfördes på en Intel Core i7-13700K med 32GB ram.

Beräkning	Tid (s)
Lösning av ODE	0.00559
Kostnadsfunktionens värde	0.0162
Kostnadsfunktionens gradient	0.137
Kostnadsfunktionens hessian	5.06

## 5.6 Indentifierbarhetsanalys

Som observerat ger parameterestimationen mycket instabila minimipunkter. Därav förfaller syftet med en identifierbarhetsanalys. Av denna anledning tillämpades inte profile likelihood.

## 6 Diskussion

Under projektet var ambitionen att bygga en modell för glukosnätverket hos *S. cerevisiae*. Förhoppningen var att få bra estimerade värden för de okända parametrarna, nära de koncentrationer som fanns presenterade som experimentell data i artikeln av Kuttykrishnan m.fl., som vi kunde observera inte följde den experimentella datan (Fig. 5). Även för de optimeringskörningar som producerade lägst värden för kostnadsfunktionen skilde sig parametervärdena mycket (Tab. 2). Konvergensten av minimipunkten för parameteruppskattningen (Fig. 6) visar också att startvärdena inte konvergerade. Det finns olika områden vilka kan ligga som grund till att parameterestimationen ej verkar gått att lösa. Dessa är en dålig modellkonstruktion, begränsning av tillgänglig datamängd och en ineffektiv optimering.

Den första möjliga förklaringen till att parameteruppskattningen inte har gett önskade resultat är valet av optimeringsalgoritm. Den valda algoritmen, Steepest descent, har fördelen att den alltid går i en nedåtgående riktning. Vardera steg är effektivt att beräkna då metoden endast kräver gradienten och inte hessianen, som tar ca 37 gånger längre tid att beräkna (Tab. 3). Denna stora tidskillnad förväntades då gradienten har en linjär komplexitet medan hessianen har en kvadratisk sådan. Däremot har Steepest descent en långsam konvergeringshastighet då det är en linjär approximation och kostnadsfunktionen är högst olinjär. Dess långsamma konvergeringshastighet innebär att väldigt många steg kan behöva tas för att nå ett optimum. För optimeringen skedde ingen konvergens till något minimum, varken ett globalt eller lokala (Fig. 6). Detta indikerar att optimeringen av varje startvärde slutar för tidigt, vilket regleras av termineringskraven (Avsnitt 4.1.3). Alltså är en möjlig förklaring till att minimum inte hittades för kostnadsfunktionen att optimeringen inte tilläts gå tillräckligt långt då termineringskraven nåddes, vilket är en konsekvens av Steepest descent-metodens karaktär. För att nå ett minimum kan termineringskraven göras mindre strikta, dock skulle detta kunna leda till en mycket långsam optimering då många steg behöver tas. Alternativet är att välja en bättre optimeringsmetod där mer effektiva steg tas. Detta minskar risken att termineringskraven möts då ett minimum ännu inte nåtts.

Newtons metod anses i många fall bättre än Steepest descent i och med den snabbare konvergeringshastigheten. Trots detta användes inte metoden då den kräver att hessianen för samtliga

punkter i optimeringen är positivt definita för att hitta ett minimum i kostnadsfunktionen. I den ursprungliga optimeringskoden användes båda metoderna. Hessianen beräknades vid varje steg och därefter valdes metod utefter hessianens definitivitet. När vi testade algoritmen för färre punkter uppmärksammades att endast en väldigt liten andel av hessianerna som beräknades var positivt definita. Därför beslutades det att använda enbart Steepest descent-metoden. Att bara använda den metoden var motiverat utifrån att hessianen annars behövde beräknas utifrån varje iteration, vilket är väldigt beräkningstungt (Tab. 3), oavsett vilken metod som användes.

Vid val av optimeringsalgoritm blir det väsentligt att göra en avvägning över hur många steg som måste tas samt hur snabba stegen är. De två metoderna som diskuterats är bra på olika sätt och ingen av dem blir därav optimal att använda. Ett alternativ till metoderna hade varit att använda Newtons metod men med en Gauss-Newton-approximation av hessianen. I den metoden används jacobianen [41], vilket är en matris med första ordningens partiella derivator, för approximationen. Då det är just första och inte andra ordningens derivator som beräknas blir beräkningstiden för approximationen i samma storleksordning som för gradienten (Tab. 3). Detta är markant mycket snabbare än tiden det tar att beräkna hessianen vilket gör varje steg betydelsevärt snabbare än för en vanlig Newtons metod. Däremot är det värt att notera att då det endast är en approximation av hessianen som användes ger metoden generellt inte bättre resultat än vad användningen av en sann hessian hade gjort.

Då Newtons metod, och varianter av den, har förmågan att ta för långa steg kan en trust region-metod användas [42]. En trust-region undviker den komplikationen genom att begränsa hur långt bort nästa iteration kan hamna i förhållande till den nuvarande iterationen. I den algoritm som användes i projektet för att hitta en steglängd, hittades en godtagbar steglängd i en given sökriktning. Sökningen för nästa punkt höll sig till den specifika riktningen. Detta skiljer sig från en trust region-metod som möjliggör en förändring av sökriktningen när stegen minskar i storlek [43]. Den flexibla avgränsningen medför även att definitiviteten av den approximerade hessianen inte behöver tas hänsyn till vilket underlättar avsevärt [43]. Den här kombinationen av Newtons metod med en trust-region samt en Gauss-Newton approximation är en välanvänd metod som visat sig resultera i en effektiv optimerare för biokemiska reaktioner i cellulära nätverk [44].

Ett annat potentiellt problem kan ligga i strukturen på modellen. I modellskapandet gjordes avvägningar på vilken detaljnivå systemet ska beskrivas. En högre detaljnivå innebär att mer komplicerade interaktioner och beteenden kan beskrivas, vilket också medför att modellen blir mer användbar. Om modellen vi utvecklat har för låg detaljnivå är det möjligt att det inte existerar några parametervärden sådana att modellen kan bete sig som den experimentella datan. Modellen av Kutykrishnan m.fl. följer datan någorlunda väl vilket innebär att modellen som konstruerades i detta arbete också borde kunna göra det, då samma data har använts och modellerna är mycket lika [6]. Alltså borde inte en för låg detaljnivå i vår modell vara grunden till att modellen inte följer datan (Fig. 5).

Om modellen istället har en hög detaljnivå ökar antalet parametrar i modellen som behöver bestämmas, vilket medför att optimeringen blir svårare. Detta är till följd av att en ökning i antalet dimensioner av parameterrymden medför en exponentiellt växande mängd möjliga kombinationer av variabler [45]. Vid ett stort antal parametrar finns en betydande risk att introducera strukturellt icke-identifierbara parametrar, det vill säga parametrar vilka vid flera olika värden genererar samma modellobservationer. Trots att dessa parametrar inte går att entydigt bestämma, kommer en optimering med strukturellt icke-identifierbara parametrar kunna generera modeller vilka följer experimentell data väl. Verktyg som analyserar systemet utan att behöva ta hänsyn till datan existerar men ligger utanför detta arbetets omfattning [46].

Generellt är modellkonstruktion en iterativ process där fler parametrar introduceras när modellen inte verkar kunna beskriva beteenden, och tas bort när de är överflödiga. Den begränsade tidsskalan i arbetet samt att skapande av experimentell data varit utanför projektets ramar, har begränsat modellkonstruktionerna som varit möjliga.

Ett ytterligare problem kan ligga i att mängden tillgänglig data är för liten för att bestämma para-

metrarna. Parametrar som inte kan bestämmas från tillgänglig data är praktiskt icke-identifierbara, vilket just av dess definition är ett betydande problem för parameterestimationen. Detta är en potentiell orsak till att parameterestimationen inte lyckades då den tillgängliga datan kan ha varit otillräcklig. Detta skulle då kunna åtgärdas genom att inkludera mer data.

En annan komplikation i den använda datan är att varje experimentell mätning upprepades två gånger. Det här ökar det absoluta värdet av kostnadsfunktionen samt minskar relativa skillnaden på värdet av kostnadsfunktionen genom att introducera ett stort fel för alla värden. Detta hade en signifikans för bland annat ett av termineringsvilkoren vid Steepest descent (18b) vilken stannade om relativa skillnaden på värdet av kostnadsfunktionen var för liten. Vid de sista parameterestimationerna användes därför medelvärden av tillgänglig data.

Vi har nu diskuterat olika möjligheter till att modellens okända parametrar inte kunde bestämmas. Resonemangen visar på att parameterestimation för modeller över biologiska system är något som är svårt att göra ur flera avseenden. På grund av att det finns många typer av modeller, krävs olika anpassningar för att kunna bestämma okända parametrar i dessa modeller. Detta medför att delar av parameteruppskattningen kan behöva implementeras från grunden och således tillkommer risker för misstag som relativt enkelt leder till felaktiga resultat. Dessutom minskas reproducerbarheten och möjligheten för att återanvända kod, vilket bidrar till utmaningen att utföra korrekta modelleringar. Svårigheten medför ett behov för standarder kring den här typen av modellering. Ett exempel på en sådan standardisering är P<sub>E</sub>tab, där ett parameteruppskattningsproblem kan formuleras i ett specifikt format som sedan stöds av många olika typer av mjukvaror [47]. Dock är svårigheten med att utforma den här typen av standarder att stor anpassningsbarhet krävs för att täcka det behov som finns. Trots svårigheten täcks det problem som möts i arbetet väldigt tydligt av standarden. Därför hade det funnits goda möjligheter att formulera problemet i en P<sub>E</sub>tab standard.

Under projektet hade användandet av en standardisering för parameteruppskattning kunnat underlätta arbetet kring optimeringsalgoritmen. Under arbetsprocessen implementerades en algoritm för optimeringen från grunden och där uppstod frågor kring metodval för algoritmen att finna kostnadsfunktionens minimum. Då det är svårt att veta vilken algoritm som är optimal för sin modell underlättar det med ett standardbibliotek där dessa kan varieras utan att själv behöva implementera koden. Dessutom skulle det tillfört möjligheten för andra personer att testa och vidareutveckla den framtagna modellen.

Sammanfattningsvis kan anledningen till att parameterestimeringen inte gått som önskats bero på många olika faktorer. Dessa inkluderar modellstrukturen, bristen på data och ett dåligt val av optimeringsalgoritm. I framtida projekt hade det varit intressant att undersöka om bättre resultat hade erhållits med ett annat val av optimeringsalgoritm samt en annan modellstruktur. Om optimeringen hade gett identifierbara parametrar hade det varit möjligt att verifiera, alternativt falsifiera, modellparametrarna som Kuttykrishnan m.fl. erhöll. Modellens reproducerbarhet är relevant eftersom modellen kan ligga till teoretisk grund för övrig forskning inom området. Om den här typen av modeller kan ta fram estimationer som svarar mot de som är mätbara för cellulära processer, kan slutsatserna användas för ökad förståelse för näringssignalering och metabolism. Insikterna kan därefter hjälpa oss att bättre förstå och förebygga metaboliska sjukdomar för att främja global hälsa.

## Referenser

1. *Mål 3: God Hälsa och Välbefinnande* okt. 2022. <https://www.globalamalen.se/om-globala-malen/mal-3-halsa-och-valbefinnande/>.
2. Chalkiadaki, A. & Guarente, L. Sirtuins mediate mammalian metabolic responses to nutrient availability. *Nature Reviews Endocrinology* **8**, 287–296. <https://www.nature.com/articles/nrendo.2011.225> (2012).
3. *Life expectancy at birth (years)* [https://www.who.int/data/gho/data/indicators/indicator-details/GHO/life-expectancy-at-birth-\(years\)](https://www.who.int/data/gho/data/indicators/indicator-details/GHO/life-expectancy-at-birth-(years)).
4. Stewart, G. i *Encyclopedia of Food Microbiology* (utg. Batt, C. A. & Tortorello, M. L.) 2. utg. 10 February 2023, 309–315 (Academic Press, Oxford, 2014). ISBN: 978-0-12-384733-1. <https://www.sciencedirect.com/science/article/pii/B9780123847300002925>.
5. Motta, S. & Pappalardo, F. Mathematical modeling of biological systems. *Briefings in Bioinformatics* **14**, 411–422. ISSN: 1467-5463. eprint: <https://academic.oup.com/bib/article-pdf/14/4/411/479256/bbs061.pdf>. <https://doi.org/10.1093/bib/bbs061> (okt. 2012).
6. Kuttykrishnan, S., Sabina, J., Langton, L. L., Johnston, M. & Brent, M. R. A quantitative model of glucose signaling in yeast reveals an incoherent feed forward loop leading to a specific, transient pulse of transcription. *Proceedings of the National Academy of Sciences* **107**, 16743–16748 (2010).
7. Yang, J., Ueharu, H. & Mishina, Y. Energy metabolism: A newly emerging target of BMP signaling in bone homeostasis. *Bone* **138**, 115467 (2020).
8. Cawley, J. *m.fl.* Direct medical costs of obesity in the United States and the most populous states. *Journal of managed care & specialty pharmacy* **27**, 354–366. <https://pubmed.ncbi.nlm.nih.gov/33470881/> (2021).
9. Zhang, P. *m.fl.* Global healthcare expenditure on diabetes for 2010 and 2030. *Diabetes research and clinical practice* **87**, 293–301 (2010).
10. Von Ah Morano, A. E., Dorneles, G. P., Peres, A. & Lira, F. S. The role of glucose homeostasis on immune function in response to exercise: The impact of low or higher energetic conditions. *Journal of Cellular Physiology* **235**, 3169–3188. eprint: <https://onlinelibrary.wiley.com/doi/pdf/10.1002/jcp.29228>. <https://onlinelibrary.wiley.com/doi/abs/10.1002/jcp.29228>.
11. Alberts, B. *m.fl.* *Molecular Biology of the Cell* 6. utg., 1–1465 (Garland Science, 2014).
12. AKHURST, T. *Chapter 17 - The Role of Nuclear Medicine in the Diagnosis and Management of Hepatobiliary and Pancreatic Diseases* 4. utg., 234–265. ISBN: 978-1-4160-3256-4. <https://www.sciencedirect.com/science/article/pii/B9781416032564500272> (W.B. Saunders, Philadelphia, 2007).
13. Kachroo, A. H. *m.fl.* Systematic humanization of yeast genes reveals conserved functions and genetic modularity. *Science* **348**, 921–925. <https://www.ncbi.nlm.nih.gov/pmc/articles/PMC4718922/> (2015).
14. Kalisky, T., Dekel, E. & Alon, U. Cost–benefit theory and optimal design of gene regulation functions. *Physical Biology* **4**, 229. <https://dx.doi.org/10.1088/1478-3975/4/4/001> (nov. 2007).
15. Tyson, J. J., Chen, K. C. & Novak, B. Sniffers, buzzers, toggles and blinkers: dynamics of regulatory and signaling pathways in the cell. *Current Opinion in Cell Biology* **15**, 221–231. ISSN: 0955-0674. <https://www.sciencedirect.com/science/article/pii/S0955067403000176> (2003).
16. Kreutz, C. A new approximation approach for transient differential equation models. *Frontiers in Physics* **8**, 70. <https://www.frontiersin.org/articles/10.3389/fphy.2020.00070/full> (2020).
17. *Saccharomyces Genome Database* <https://www.yeastgenome.org/>.

18. Lee, D., Son, H. G., Jung, Y. & Lee, S.-J. V. The role of dietary carbohydrates in organismal aging. *Cellular and Molecular Life Sciences* **74**, 1793–1803. <https://link.springer.com/article/10.1007/s00018-016-2432-6> (2017).
19. Reifenger, E., Freidel, K. & Ciriacy, M. Identification of novel HXT genes in *Saccharomyces cerevisiae* reveals the impact of individual hexose transporters on glycolytic flux. en. *Mol. Microbiol.* **16**, 157–167 (april 1995).
20. Ciliberto, A., Capuani, F. & Tyson, J. J. Modeling networks of coupled enzymatic reactions using the total quasi-steady state approximation. *PLoS computational biology* **3**, e45 (2007).
21. Kenakin, T. The mass action equation in pharmacology. *British Journal of Clinical Pharmacology* **81**, 41–51. <https://doi.org/10.1111/bcp.12810> (dec. 2015).
22. Srinivasan, B. A guide to the Michaelis–Menten equation: steady state and beyond. *The FEBS journal* **289**, 6086–6098 (2022).
23. English, B. P. *m. fl.* Ever-fluctuating single enzyme molecules: Michaelis-Menten equation revisited. *Nature chemical biology* **2**, 87–94 (2006).
24. Schnell, S. Validity of the Michaelis–Menten equation–steady-state or reactant stationary assumption: that is the question. *The FEBS journal* **281**, 464–472 (2014).
25. Goutelle, S. *m. fl.* The Hill equation: a review of its capabilities in pharmacological modelling. *Fundamental & clinical pharmacology* **22**, 633–648 (2008).
26. Goutsias, J. & Lee, N. Computational and Experimental Approaches for Modeling Gene Regulatory Networks. *Current Pharmaceutical Design* **13**, 1415–1436. <https://doi.org/10.2174/138161207780765945> (maj 2007).
27. Segel, L. A. & Slemrod, M. The quasi-steady-state assumption: a case study in perturbation. *SIAM review* **31**, 446–477 (1989).
28. García-Portugués, E. *Notes for Predictive Modeling* Version 6.9.11. ISBN 978-84-09-29679-8. <https://bookdown.org/egarpor/PM-UC3M/> (2023).
29. Andréasson, N., Evgrafov, A. & Patriksson, M. *An Introduction to Continuous Optimization* ISBN: 9789144044552 (Professional Publishing Svc., 2005).
30. Meza, J. C. Steepest descent. *WIREs Computational Statistics* **2**, 719–722. eprint: <https://wires.onlinelibrary.wiley.com/doi/pdf/10.1002/wics.117>. <https://wires.onlinelibrary.wiley.com/doi/abs/10.1002/wics.117>.
31. George, S. & Sabari, M. Convergence rate results for steepest descent type method for nonlinear ill-posed equations. *Applied Mathematics and Computation* **294**, 169–179. ISSN: 0096-3003. <https://www.sciencedirect.com/science/article/pii/S0096300316305690> (2017).
32. Raue, A. *m. fl.* Structural and practical identifiability analysis of partially observed dynamical models by exploiting the profile likelihood. *Bioinformatics* **25**, 1923–1929 (2009).
33. Guillaume, J. H. *m. fl.* Introductory overview of identifiability analysis: A guide to evaluating whether you have the right type of data for your modeling purpose. *Environmental Modelling Software* **119**, 418–432. ISSN: 1364-8152. <https://www.sciencedirect.com/science/article/pii/S1364815218307278> (2019).
34. Wieland, F.-G., Hauber, A. L., Rosenblatt, M., Tönsing, C. & Timmer, J. On structural and practical identifiability. *Current Opinion in Systems Biology* **25**, 60–69. ISSN: 2452-3100. <https://www.sciencedirect.com/science/article/pii/S245231002100007X> (2021).
35. Bezanson, J., Edelman, A., Karpinski, S. & Shah, V. B. Julia: A Fresh Approach to Numerical Computing. *SIAM Review* **59**, 65–98. <https://epubs.siam.org/doi/10.1137/141000671> (2017).
36. Revels, J., Lubin, M. & Papamarkou, T. Forward-Mode Automatic Differentiation in Julia. *arXiv:1607.07892 [cs.MS]*. <https://arxiv.org/abs/1607.07892> (2016).
37. Atangana, A. i *Fractional Operators with Constant and Variable Order with Application to Geo-Hydrology* (utg. Atangana, A.) 15–47 (Academic Press, 2018). ISBN: 978-0-12-809670-3. <https://www.sciencedirect.com/science/article/pii/B9780128096703000023>.

38. Ma, Y. *m.fl. ModelingToolkit: A Composable Graph Transformation System For Equation-Based Modeling* 2021. arXiv: 2103.05244 [cs.MS].
39. Rackauckas, C. & Nie, Q. DifferentialEquations.jl—a performant and feature-rich ecosystem for solving differential equations in Julia. *Journal of Open Research Software* **5** (2017).
40. Rackauckas, C. & Nie, Q. DifferentialEquations.jl—a performant and feature-rich ecosystem for solving differential equations in Julia. *Journal of Open Research Software* **5** (2017).
41. Chen, C., Reiz, S., Yu, C. D., Bungartz, H.-J. & Biros, G. Fast approximation of the Gauss–Newton Hessian matrix for the multilayer perceptron. *SIAM Journal on Matrix Analysis and Applications* **42**, 165–184. <https://epubs.siam.org/doi/epdf/10.1137/19M129961X> (2021).
42. Chen, P. Hessian matrix vs. Gauss–Newton hessian matrix. *SIAM Journal on Numerical Analysis* **49**, 1417–1435. <https://epubs.siam.org/doi/pdf/10.1137/100799988> (2011).
43. Steven D. Brown, R. T. & Walczak, B. *Comprehensive Chemometrics: Chemical and Biochemical Data Analysis* ISBN: 978-0-12-381375-6 (Elsevier, 2009).
44. Fröhlich, F. & Sorger, P. K. Fides: Reliable trust-region optimization for parameter estimation of ordinary differential equation models. *PLOS Computational Biology* **18**, e1010322. <https://journals.plos.org/ploscompbiol/article?id=10.1371/journal.pcbi.1010322> (2022).
45. Nocedal, J. & Wright, S. J. *High-Dimensional Optimization* (Springer Science & Business Media, 2006).
46. Wieland, F.-G., Hauber, A. L., Rosenblatt, M., Tönsing, C. & Timmer, J. On structural and practical identifiability. *Current Opinion in Systems Biology* **25**, 60–69. ISSN: 2452-3100. <https://www.sciencedirect.com/science/article/pii/S245231002100007X> (2021).
47. Schmiester, L. *m.fl. PEtab—Interoperable specification of parameter estimation problems in systems biology. PLoS computational biology* **17**, e1008646 (2021).
48. Peñuñuri, F., Carvente, O., Zambrano-Arjona, M., Peón, R. & Cruz-Villar, C. A. *Dual numbers for algorithmic differentiation* dec. 2019. [https://www.redalyc.org/journal/467/46761359006/html/#redalyc\\_46761359006\\_ref30](https://www.redalyc.org/journal/467/46761359006/html/#redalyc_46761359006_ref30).
49. Wolfe, A. *Multivariable Dual Numbers Automatic Differentiation* febr. 2017. <https://blog.demofox.org/2017/02/20/multivariable-dual-numbers-automatic-differentiation/>.

## A Appendix 1 - Begreppslista över biologiska termer

ATP	Ett ämne som fungerar som kortsiktig energikälla i många cellulära processer och som överlämnar energi genom att släppa en fosfatgrupp. ADP saknar fosfatgrupp medan ATP har den.
Degradering	Processen som ett ämne går igenom när det sönderfaller.
Enzym	Protein som genomför reaktioner.
Eukaryot	Gruppen organismer med cellkärna. Inkluderar djur, växter och svampar.
Fosforylering	Processen att sätta en fosfatgrupp på ett annat ämne. Fosforylering av ett protein ändrar ofta dess funktion.
Gen	En sekvens DNA som innehåller informationen för att göra ett specifikt protein.
Genuttryck	Hur mycket mRNA som bildas i en specifik celltyp.
Glukos	En sockerart som är en viktig energi- och byggkälla för många organismer.
Hexokinaser	Membranprotein som transporterar hexoser över cellmembranet.
Hexoser	Sockerarter med sex kolatomer i en ring, exempelvis glukos.
Katalys	När en kemisk eller fysikalisk förändringsprocess underlättas genom att ett ämne sänker aktiveringsenergin för reaktionen.
Komplex	Enhet med två eller fler komponenter, ofta proteiner.
Ligand	Liten molekyl som binder till protein och ändrar dess struktur.
Metabolism	Gemensamt namn för processer som tar upp näringsämnen, bryter ner dem för energi, bygger ihop dem till större beståndsdelar samt exporterar dem.
Modellorganism	Organism som studeras i syfte att få ökad biologisk förståelse för andra arter.
mRNA	En molekyl som innehåller information om hur ett protein ska se ut.
Organeller	Cellens inre delar, lokaliserade innanför cellmembranet. Kan betraktas som cellens organ.
Protein	Stora molekyler som har en variation av viktiga funktioner i organismer, bland annat inom metabolism.
Proteinkinaser	Enzymer som katalyserar proteinfosforylering.
Repressor	Protein som förhindrar transkription av gener.
Stationärt tillstånd	Ett tillstånd där inga observerbara förändringar inträffar i det kemiska/fysikaliska systemet. Kallas även steady-state.
Substrat	Den näring som en organism lever på.

## B Appendix 2 - Automatisk Differentiering

En svårighet med att applicera Newtons metod och Steepest decent för mer komplicerade funktioner, är att beräkna dess derivator. Ett kraftigt verktyg för att lösa problemet är att använda automatisk differentiering [48].

Framåtackumulerande automatisk differentiering utnyttjar dualtal, vilka i stor likhet till komplexa talen kan definieras som  $\hat{x} = a + \epsilon b$  med reella talen  $a, b$  där  $\epsilon^2 = 0$  [48].

Taylorutvecklingen av analytiska funktionen  $f : \mathbb{R} \rightarrow \mathbb{R}$  utvärderad runt  $x + \epsilon$  kan skrivas som

$$f(x + \epsilon) = f(x) + f'(x)\epsilon + \cancel{O(\epsilon^2)} \overset{0}{\rightarrow} \quad (\text{B.1})$$

och då  $\epsilon^2 = 0$  kan högre ordningens termer styrkas. Ur detta kan vi se att vi får en evaluering av både funktionsvärdet och dess derivata i  $x$  när funktionen evalueras i  $x + \epsilon$ .

Dualtalen hanterar kedjeregeln väl så att  $h(x) = f(g(x))$  ger  $h(x + \epsilon) = f(g(x)) + h'(g(x))\epsilon$  vilket gör att nestade uttryck blir lätta att hantera.

För en analys av en variabelfunktion blir det således trivialt att beräkna derivatan givet att den är formulerad så den hanterar dualtal. Hanteringen av multivariabla funktioner  $f : \mathbb{R}^n \rightarrow \mathbb{R}$  blir något mer komplicerat [49]. Enklast beräknas riktingsderivatorna separat för att sedan sättas ihop. Detta är mycket redundant och kan optimeras till stor grad.

## C Appendix 3 - Systemets differentialekvationer

Nedan presenteras differentialekvationerna och den algebraiska ekvationen som använts för glukosnätverkets system.

$$\begin{aligned}
 \frac{d\text{Snf3}}{dt} &= k_{i,\text{Snf3g}} \cdot \text{Snf3g} + k_{t,\text{Snf3}} \cdot \text{mSNF3} - k_{d,\text{Snf3}} \text{Snf3} - \text{Glucose}_{Ex} \cdot k_{a,\text{Snf3}} \cdot \text{Snf3} \\
 \frac{d\text{Snf3g}}{dt} &= -k_{i,\text{Snf3g}} \cdot \text{Snf3g} + \text{Glucose}_{Ex} \cdot k_{a,\text{Snf3}} \cdot \text{Snf3} \\
 \frac{d\text{Std1}}{dt} &= k_{t,\text{Std1}} \cdot \text{mSTD1} - k_{d,\text{Std1}} \cdot \text{Std1} - k_{i,\text{Std1}} \cdot \text{Snf3g} \cdot \text{Std1} \\
 \frac{d\text{Mth1}}{dt} &= k_{t,\text{Mth1}} \cdot \text{mMTH1} - k_{d,\text{Mth1}} \cdot \text{Mth1} - k_{i,\text{Mth1}} \cdot \text{Mth1} \cdot \text{Snf3g} \\
 \frac{d\text{Rgt1}}{dt} &= k_{t,\text{Rgt1}} \cdot \text{mRGT1} - k_{d,\text{Rgt1}} \cdot \text{Rgt1} \\
 \text{Rgt1}_{active} &= K_{\text{Mth1,Rgt1}} \cdot \text{Mth1} \cdot \text{Rgt1} + K_{\text{Std1,Rgt1}} \cdot \text{Rgt1} \cdot \text{Std1} \\
 \frac{d\text{Hxt1}}{dt} &= k_{t,\text{Hxt1}} \cdot \text{mHXT1} - k_{d,\text{Hxt1}} \cdot \text{Hxt1} \\
 \frac{d\text{Hxt2}}{dt} &= k_{t,\text{Hxt2}} \cdot \text{mHXT2} - k_{d,\text{Hxt2}} \cdot \text{Hxt2} \\
 \frac{d\text{Hxt3}}{dt} &= k_{t,\text{Hxt3}} \cdot \text{mHXT3} - k_{d,\text{Hxt3}} \cdot \text{Hxt3} \\
 \frac{d\text{Hxt4}}{dt} &= k_{t,\text{Hxt4}} \cdot \text{mHXT4} - k_{d,\text{Hxt4}} \cdot \text{Hxt4} \\
 \frac{d\text{Snf1}}{dt} &= k_{t,\text{Snf1}} \cdot \text{mSNF1} - k_{d,\text{Snf1}} \cdot \text{Snf1} - k_{i,\text{Snf1}} \cdot \text{Glucose}_{In} \cdot \text{Snf1} \\
 \frac{d\text{Mig1}}{dt} &= k_{t,\text{Mig1}} \cdot \text{mMIG1} - k_{d,\text{Mig1}} \cdot \text{Mig1} - k_{i,\text{Mig1}} \cdot \text{Mig1} \cdot \text{Snf1} \\
 \frac{d\text{Mig2}}{dt} &= k_{t,\text{Mig2}} \cdot \text{mMIG2} - k_{d,\text{Mig2}} \cdot \text{Mig2} \\
 \\
 \frac{d\text{Glucose}_{In}}{dt} &= \frac{\text{Glucose}_{Ex} \cdot V_{transport,Hxt1}}{\text{Glucose}_{Ex} + K_{transport,Hxt1}} + \frac{\text{Glucose}_{Ex} \cdot V_{transport,Hxt2}}{\text{Glucose}_{Ex} + K_{transport,Hxt2}} + \\
 &\quad \frac{\text{Glucose}_{Ex} \cdot V_{transport,Hxt3}}{\text{Glucose}_{Ex} + K_{transport,Hxt3}} + \frac{\text{Glucose}_{Ex} \cdot V_{transport,Hxt4}}{\text{Glucose}_{Ex} + K_{transport,Hxt4}} - k_{p,ATP} \cdot \text{Glucose}_{In} \\
 \\
 \frac{d\text{mSNF3}}{dt} &= \frac{V_{mSNF3}}{(1 + \theta_{\text{Mig1,Snf3}} \cdot \text{Mig1})(1 + \theta_{\text{Mig2,Snf3}} \cdot \text{Mig2})} - k_{d,mSNF3} \cdot \text{mSNF3} \\
 \\
 \frac{d\text{mSTD1}}{dt} &= \frac{V_{mSTD1}}{1 + \theta_{\text{Rgt1,active,Std1}} \cdot \text{Rgt1}_{active}} - k_{d,mSTD1} \cdot \text{mSTD1} \\
 \\
 \frac{d\text{mMTH1}}{dt} &= \frac{V_{mMTH1}}{(1 + \theta_{\text{Mig1,MTH1}} \cdot \text{Mig1})(1 + \theta_{\text{Mig2,MTH1}} \cdot \text{Mig2})(1 + \theta_{\text{Rgt1,active,MTH1}} \cdot \text{Rgt1}_{active})} - k_{d,mMTH1} \cdot \text{mMTH1} \\
 \\
 \frac{d\text{mRGT1}}{dt} &= V_{mRGT1} - k_{d,mRGT1} \cdot \text{mRGT1}
 \end{aligned}$$

$$\frac{dm_{HXT1}}{dt} = \frac{V_{m_{HXT1}} \left( T_{m_{HXT1}} + \frac{\theta_{activation}(1-T_{m_{HXT1}}) \cdot Rgt1}{1+\theta_{activation} \cdot Rgt1} \right)}{1 + \theta_{Rgt1,active,HXT1} \cdot Rgt1_{active}} - k_{d,m_{HXT1}} \cdot m_{HXT1}$$

$$\frac{dm_{HXT2}}{dt} = \frac{V_{m_{HXT2}}}{(1 + \theta_{Mig1,HXT2} \cdot Mig1) (1 + \theta_{Mig2,HXT2} \cdot Mig2) (1 + \theta_{Rgt1,active,HXT2} \cdot Rgt1_{active})} - k_{d,m_{HXT2}} \cdot m_{HXT2}$$

$$\frac{dm_{HXT3}}{dt} = \frac{V_{m_{HXT3}}}{(1 + \theta_{Mig1,HXT3} \cdot Mig1) (1 + \theta_{Mig2,HXT3} \cdot Mig2) (1 + \theta_{Rgt1,active,HXT3} \cdot Rgt1_{active})} - k_{d,m_{HXT3}} \cdot m_{HXT3}$$

$$\frac{dm_{HXT4}}{dt} = \frac{V_{m_{HXT4}}}{(1 + \theta_{Mig1,HXT4} \cdot Mig1) (1 + \theta_{Mig2,HXT4} \cdot Mig2) (1 + \theta_{Rgt1,active,HXT4} \cdot Rgt1_{active})} - k_{d,m_{HXT4}} \cdot m_{HXT4}$$

$$\frac{dm_{MIG1}}{dt} = \frac{V_{m_{MIG1}}}{(1 + \theta_{Mig1,MIG1} \cdot Mig1) (1 + \theta_{Mig2,MIG1} \cdot Mig2)} - k_{d,m_{MIG1}} \cdot m_{MIG1}$$

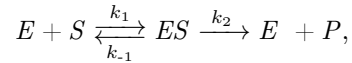
$$\frac{dm_{MIG2}}{dt} = \frac{V_{m_{MIG2}}}{(1 + \theta_{Mig1,MIG2} \cdot Mig1) (1 + \theta_{Mig2,MIG2} \cdot Mig2) (1 + \theta_{Rgt1,active,MIG2} \cdot Rgt1_{active})} - k_{d,m_{MIG2}} \cdot m_{MIG2}$$

$$\frac{dm_{SNF1}}{dt} = V_{m_{SNF1}} - k_{d,m_{SNF1}} \cdot m_{SNF1}$$

## D Appendix 4 - Härledning av Michaelis-Mentens ekvation

Följande härledning är utförd utifrån artikeln *Validity of the Michaelis-Menten equation – steady-state or reactant stationary assumption: that is the question* av Santiago Schnell [24].

Massverkans lag kan appliceras för enzym-substrat-reaktionen presenterad i Avsnitt 3.2.1,



för att få fram ett uttryck för hastigheten för enzym-substratkomplexet  $ES$  att bildas:

$$\frac{dES}{dt} = k_1 \cdot E \cdot S - (k_{-1} + k_2) \cdot ES. \quad (\text{D.1})$$

Genom att anta stationärt tillstånd för första delreaktionen kan koncentrationen av komplexet antas vara konstant och därför dess produktionshastighet ungefär noll:

$$\frac{dES}{dt} \approx 0. \quad (\text{D.2})$$

Antagandet ovan gör att följande konserveringslag,

$$E_0 = E + ES, \quad (\text{D.3})$$

gäller för den irreversibla delen av reaktionen där komplex blir produkt och enzym. Genom att ersätta  $E$  i uttrycket ovan och anta stationärt tillstånd kan komplexet formuleras i termer av substrat enligt

$$ES = \frac{E_0 \cdot S}{K_m + S}, \quad (\text{D.4})$$

där  $K_m$  motsvarar Michaelis-Menten konstanten:

$$K_m = \frac{k_{-1} + k_2}{k_1}. \quad (\text{D.5})$$

I den irreversibla delen för reaktionen kan hastighetsförändringen för koncentrationen av produkten  $P$ , med hjälp av massverkans lag formuleras som uttrycket nedan.

$$\frac{dP}{dt} = k_2 \cdot ES \quad (\text{D.6})$$

Om ett substratöverskott antas för reaktionen kan man förutsätta att substratet som förbrukas i komplexbildningen blir försumbar mot totalmängden substrat. Detta resulterar i följande:

$$S_0 \approx S. \quad (\text{D.7})$$

Genom att D.4 och D.7 tillämpas för D.6 fås

$$\frac{dP}{dt} = \frac{V_{max} \cdot [S]}{K_s + [S]}, \quad (\text{D.8})$$

som är den ekvation som presenteras i Avsnitt 3.2.1 som Michaelis-Menten-ekvationen. I uttrycket motsvarar konstanten  $V_{max}$  följande:

$$V_{max} = k_2 \cdot E_0. \quad (\text{D.9})$$

Detta svarar mot maximala hastigheten för allt enzym att bli bundet som komplex.

## E Appendix 5 - Härledning av Newtons metod

Funktionen  $f$  kan approximeras i närheten av punkten  $\mathbf{x}_0$  med en andra gradens Taylorutveckling enligt:

$$f(\mathbf{x}) \approx f_T(\mathbf{x}) = f(\mathbf{x}_0) + (\mathbf{x} - \mathbf{x}_0)^T \cdot \nabla f(\mathbf{x}_0) + \frac{1}{2} \cdot (\mathbf{x} - \mathbf{x}_0)^T \cdot \nabla^2 f(\mathbf{x}_0) \cdot (\mathbf{x} - \mathbf{x}_0), \quad (\text{E.1})$$

där  $\nabla^2 f(\mathbf{x}) \in \mathbb{R}^{k \times k}$  är Hessianen för funktionen  $f$  och  $\nabla f(\mathbf{x}) \in \mathbb{R}^k$  är gradienten av funktionen  $f$  [29]. Givet den lokala approximationen  $f_T$  vid den aktuella punkten  $\mathbf{x}_0$  vill vi hitta ett  $\mathbf{x}$  sådant att  $f_T$  minimeras. Detta kan genomföras genom att ta gradienten på  $f_T$ , sätta den till 0 och lösa ut  $\mathbf{x}$ . Gradienten av  $f_T$  ger

$$\nabla f_T(\mathbf{x}) = \nabla f(\mathbf{x}_0) + \nabla^2 f(\mathbf{x}_0) \cdot (\mathbf{x} - \mathbf{x}_0), \quad (\text{E.2})$$

varpå  $\mathbf{x}$  kan lösas ut om  $\nabla f_T(\mathbf{x}) = 0$ . Detta ger slutligen

$$\mathbf{x} = \mathbf{x}_0 - (\nabla^2 f(\mathbf{x}_0))^{-1} \cdot \nabla f(\mathbf{x}_0). \quad (\text{E.3})$$

Uttrycket ovan kan generaliseras och en steglängd  $\alpha_k \in [0, 1]$  för sökriktningen inkluderas:

$$\mathbf{x}_{k+1} = \mathbf{x}_k - \alpha_k \cdot (\nabla^2 f(\mathbf{x}_k))^{-1} \cdot \nabla f(\mathbf{x}_k). \quad (\text{E.4})$$

## F Appendix 6 - Optimering samt indentifierbarhetsanalys på testmodell

I syfte att testa optimeringsalgoritmens funktion skapades en simpel modell där de sanna parametrarna var kända. Vi ställer upp en enkel reaktion



där ämne A reagerar till ämne B med hastigheten  $k_1$  och ämne B reagerar tillbaka till A med hastigheten  $k_{-1}$ . Vi kan definiera koncentrationsförändringen av ämne A respektive B enligt:

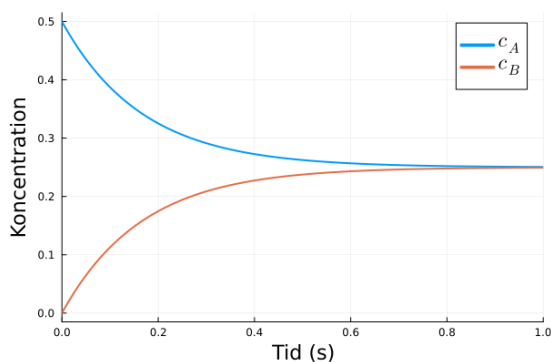
$$\begin{aligned} \frac{dc_A}{dt} &= k_{-1} \cdot c_B - k_1 \cdot c_A \\ \frac{dc_B}{dt} &= k_1 \cdot c_A - k_{-1} \cdot c_B. \end{aligned} \quad (\text{F.2})$$

I detta system är  $k_1$  och  $k_{-1}$  okända, vi kallar dessa  $\theta_1$  respektive  $\theta_2$ . Genom att sätta ett värde på dessa parametrar och sätta startkoncentrationer  $c_{A,0}$  och  $c_{B,0}$  kan vi generera en datapunkt vid en tid tidpunkt som avviker normalfördelat från den sanna lösningen med en viss varians.

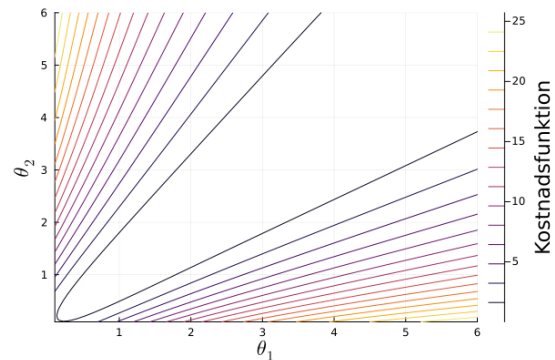
För att testa vår optimerare sätter vi

$$\begin{bmatrix} \theta_1 \\ \theta_2 \end{bmatrix} = \begin{bmatrix} 3 \\ 3 \end{bmatrix}, \quad (\text{F.3})$$

där vi genererar 50 experiment där startkoncentrationer  $c_{A,0}$  och  $c_{B,0}$  slumpas mellan 0 och 1 och experimenten körs till en slumpad tid mellan 0 och 1 sekunder. Den sanna lösningen för ett specifikt starttillstånd visas i Figur F.1.



**Figur F.1:** Exakta lösningen för testmodellen då  $c_{A,0} = 0.5$  och  $c_{B,0} = 0$



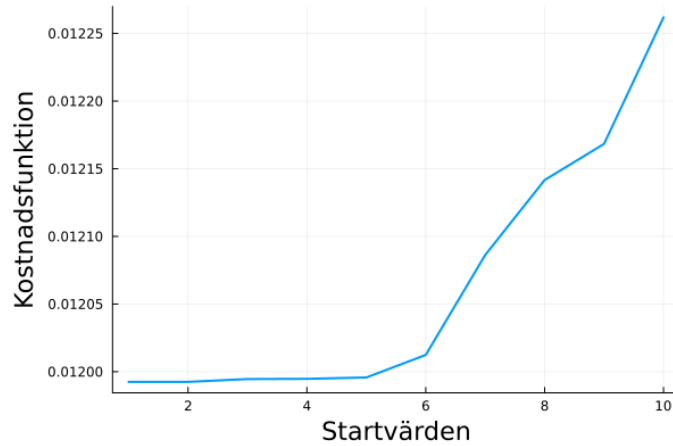
**Figur F.2:** Konturplot för kostnadsfunktionen i området är  $0.01 \geq \theta_1 \geq 6$  och  $0.01 \geq \theta_2 \geq 6$

Sökområdet är  $0.01 \geq \theta_1 \geq 6$  och  $0.01 \geq \theta_2 \geq 6$  och optimeringen körs på 10 genererade startvärden med varians 0.01 enligt latin hypercube-sampling.

Optimeringen erhåller

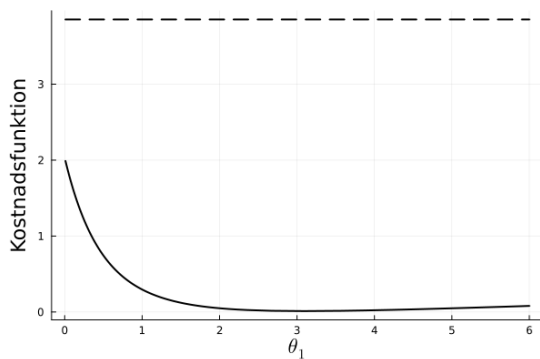
$$\begin{bmatrix} \theta_1 \\ \theta_2 \end{bmatrix} = \begin{bmatrix} 3.091638162900869 \\ 3.1068427019656415 \end{bmatrix}, \quad (\text{F.4})$$

vilket ligger nära de parametrarna som den genererade data utgörs av. Vi väntar oss att de estimerade parametrarna inte blir identiska till de sanna parametrarna då den genererade datan avviker från den sanna lösningen. I Figur F.3 kan vi se de optimerade värdena från startpunkterna, och kan observera att startpunkterna konvergerar till ett minimivärde.

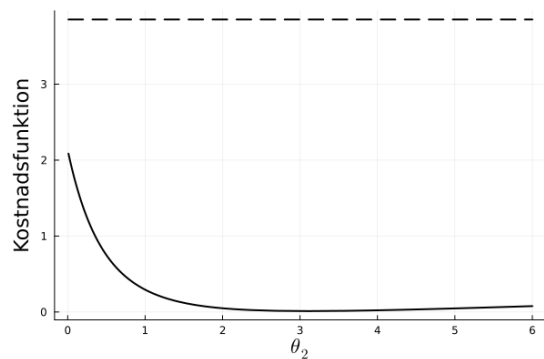


**Figur F.3:** Överblick över funktionsvärdet från optimeringarna från alla 10 startpunkter.

Figur F.4 och Figur F.5 visar en profil av likelihood för den första respektive andra parametrarna. Figurerna har liknande form och ingen av graferna går tydligt uppåt till vänster om minimivärdet vilket innebär de är praktiskt icke-identifierbara. Orsaken till detta är att parametrarna är korrelerade och kan därför inte definieras var för sig. Däremot kan förhållandet mellan parametrarna fastställas (Fig. F.2). Även konturplotten demonstrerar parametrarnas icke-identifierbarhet då minimipunkten inte är innesluten. Anledningen till att parametrarna kan uppskattas är på grund av att parametrarnas värde påverkar hur snabbt jämviktsläget infinner sig, vilket den genererade experimentella datan reflekterar.



**Figur F.4:** Profilering av kostnadsfunktionen för  $\theta_1$ , tröskelvärdet  $\Delta_\alpha$  ges av den streckade linjen.



**Figur F.5:** Profilering av kostnadsfunktionen för  $\theta_2$ , tröskelvärdet  $\Delta_\alpha$  ges av den streckade linjen.

## G Appendix 7 - Källkod

I nedstående avsnitt ges källkoden för testmodellen samt den riktiga modellen. Det ingår även annan kod som ingår i parameterestimationen så som en optimerare samt kod för att plotta erhållna resultat.

### G.1 Modellkonstruktion av testmodell med grundkod för parameterestimation

```
1 using DifferentialEquations, ModelingToolkit, Plots, Random, Distributions
2 include("newton_minimize.jl")
3 include("profile_likelihood.jl")
4
5 # Object for experimental results
6 struct experiment_results
7     c0::AbstractVector
8     c_final::AbstractVector
9     t_final::Number
10 end
11
12 "Model construction"
13 function model_2p_initialize()
14     @parameters t [1:2] #Parametrar i modellen
15     @variables c1(t) c2(t) #Variabler i modellen
16     D = Differential(t) #Definierar tecken för derivata
17
18     equation_system = [D(c1) ~ - [1] * c1 + [2] * c2,
19         D(c2) ~ [1] * c1 - [2] * c2] #Uttryck för systemet som
20     differentialekvationer
21
22     @named system = ODESystem(equation_system) #Definierar av som är
23     systemet från differentialekvationerna
24     system = structural_simplify(system) #Skriver om systemet så det blir lö
25     sbart
26
27     # Intialvärden som kommer skrivas över
28     c0 = [0, 0]
29     in = [0, 0]
30
31     u0 = [c1 => c0[1],
32         c2 => c0[2]] #Definierar initialvärden
33
34     p = [ [1] => in [1],
35         [2] => in [2]] #Definierar värden för parametrarna
36
37     tspan = (0.0, 10) #Tiden vi kör modellen under
38     problem_object = ODEProblem(system, u0, tspan, p, jac=true) #Definierar
39     vad som ska beräknas
40     return problem_object
41 end
42
43 "Solve the ODE system"
44 function model_solver(_problem_object, in, c0, t_stop)
45     problem_object = remake(_problem_object, u0=convert.(eltype(in), c0),
46         tspan=(0.0, t_stop), p=in)
47     solution = solve(problem_object, Rodas5P(), abstol=1e-8, reltol=1e-8,
48         maxiters=1e5)
49     return solution
```

```

44 end
45
46 "Catch error"
47 function check_error(e)
48     if e isa BoundsError
49         @warn "Bounds error ODE solve"
50     elseif e isa DomainError
51         @warn "Domain error on ODE solve"
52     elseif e isa SingularException
53         @warn "Singular exeption on ODE solve"
54     else
55         rethrow(e)
56     end
57 end
58
59 "Calculate difference between experiments and model"
60 function cost_function(problem_object, log, experimental_data::
    AbstractVector)
61     = exp.(log)
62     error = 0
63     for data in experimental_data
64         success = true
65         try
66             sol = model_solver(problem_object, , data.c0, data.t_final)
67             if !(sol.retcode == ReturnCode.Success || sol.retcode ==
    ReturnCode.Terminated)
68                 success = false
69             end
70             if success
71                 c_final_model = sol.u[end]
72                 error += sum((c_final_model - data.c_final) .^ 2)
73             end
74             catch e
75                 check_error(e)
76                 success == false
77             end
78             if success == false
79                 return Inf
80             end
81         end
82     end
83     return error
84 end
85
86 "Run experiment"
87 function experimenter(problem_object, t_stop, c0, standard_deviation, in )
88     solution = model_solver(problem_object, in, c0, t_stop) #Genererar lö
    sningar
89     noise_distribution = Normal(0, standard_deviation) #Skapar error
90     return solution[:, end] + rand(noise_distribution, length(c0)) # Läger
    till error
91 end
92
93 "Generate experimental data"
94 function random_dataset_generator(problem_object, number_of_experiments,
    in ; standard_deviation=0.01)
95     experimental_data = []
96     for i = 1:number_of_experiments
97         Random.seed!(10 * i)
98         t_final_data = rand() #Genererar slumpmässiga sluttider

```

```

99     c0_data = rand!(zeros(length(problem_object.u0))) #Genererar slumpmä
      ssga initial koncentrationer
100     c_final_data = experimenter(problem_object, t_final_data, c0_data,
      standard_deviation, in )
101     current_data = experiment_results(c0_data, c_final_data,
      t_final_data)
102     push!(experimental_data, current_data)
103     end
104     return experimental_data
105 end
106
107 "Plot true solution"
108 function plot_exact_example(problem_object, in )
109     c0 = [0.5, 0.0] # Initial concentrations
110     sol = model_solver(problem_object, in , c0, 1) ##Kör modellen
111     plot(sol, xaxis="Tid (s)", yaxis="Koncentration", label=[L"c_{A}" L"c_{B}
      }"], lw=2, legendfontsize=15, labelfontsize=15) #Plottar lösningen
112     savefig("exact_ex.png")
113 end
114
115 "Plot model"
116 function plot_experiment(experimental_data)
117     for data in experimental_data
118         plot!(data.t_final * ones(length(data.c_final)), data.c_final,
      seriestype=:scatter) #Plottar lösningen
119     end
120     savefig("exp_data.png")
121 end
122
123 problem_object = model_2p_initialize()
124 experimental_data = random_dataset_generator(problem_object, 50, [3.0, 3.0])
125
126 bounds = [(0.01, 6), (0.01, 6)]
127 log_bounds = map(x -> (log(x[1]), log(x[2])), bounds)
128
129 f(x) = cost_function(problem_object, x, experimental_data)
130
131 # run the parameter estimation
132 x_min, f_min = p_est(f, log_bounds, 10, false)
133
134 plot_exact_example(problem_object, [3.0, 3.0])
135 plot_experiment(experimental_data)
136
137 # Define the initial parameter values
138 params = x_min
139
140 # Perform profile likelihood analysis for each parameter
141 num_points = 100
142 threshold = 3.84
143
144 # save threshold
145 CSV.write("profilelikelihood_results/threshold.csv", DataFrame(threshold=
      threshold))
146
147 run_profile_likelihood(params, 1000, bounds, num_points, threshold)
148
149 contourplot_2p()

```

---

## G.2 Modellkonstruktion och grundkod för parameterestimation

---

```
1 using DifferentialEquations
2 using ModelingToolkit
3 using Plots
4 using Random
5 using Distributions
6 using ForwardDiff
7 using DataFrames
8 using CSV
9 include("newton_minimize.jl")
10 include("profile_likelihood.jl")
11
12 "Object for experimental results"
13 struct experiment_results
14     glucose_conc::Number
15     hxt_types::AbstractVector
16     c::AbstractMatrix
17     t::AbstractVector
18 end
19
20 Data01_glucose = [0.74 0.1 0.06 0.05 0.76 0.13 23.02 26.98
21     1.83 0.52 0.1 0.06 0.85 0.33 29.55 36.75
22     0.23 0.02 0.29 0.02 0.95 0.05 41.21 53.44
23     0.08 0.05 0.19 0.29 0.24 0.14 31.34 44.63
24     0.05 0.19 0.15 1.1 0.32 0.18 28.44 25.82
25     0.09 0.03 0.06 0.07 0.27 0.09 12.34 16.08
26     0.02 0.02 0.01 0.2 0.28 0.04 9.92 13.89]
27 Data02_glucose = [0.07 0.02 0.06 0.05 0.52 0.13 23.02 26.98
28     3.92 1.05 0.09 0.09 0.78 0.71 21.19 24.59
29     9.86 8.15 0.18 0.18 0.67 0.57 19.69 20.69
30     19.08 15.12 0.32 0.32 1.78 1.46 16.35 17.33
31     21.03 20.01 0.35 0.35 3.96 2.96 15.57 14.37
32     27.03 24.11 0.91 1.18 7.34 8.34 12.55 13.55
33     29.03 31.05 1.03 1.08 11.16 9.16 10.37 8.12]
34 Data01_mutant = [91.09 81.19
35     82.14 74.49
36     69.08 68.11
37     59.57 64.89
38     55.71 56.12
39     51.68 60.08]
40 Data02_mutant = [23.83 20.11
41     41.84 34.41
42     57.87 51.86
43     76.11 65.38
44     85.12 77.12
45     92.12 81.11]
46
47 "Take the averages of repeated experiments"
48 function new_data_maker(Data_old)
49     size_matrix = size(Data_old)
50     println(size_matrix)
51     data_new = zeros(size_matrix[1], trunc(Int, size_matrix[2] ./ 2))
52     for i = 1:trunc(Int, size_matrix[2] ./ 2)
53         global data_new[:, i] = (Data_old[:, 2*i-1] + Data_old[:, 2*i]) / 2
54     end
55     return data_new
56 end
57
58 # For non average data
59 #index_general = [1, 2, 3, 4, 5, 6, 7, 8]
```

```

60 #index_mutant = [4, 4]
61
62
63 # For avrage data
64 index_general = [1, 2, 3, 4]
65 index_mutant = [4]
66 Data01_glucose = new_data_maker(Data01_glucose)
67 Data02_glucose = new_data_maker(Data02_glucose)
68 Data01_mutant = new_data_maker(Data01_mutant)
69 Data02_mutant = new_data_maker(Data02_mutant)
70
71
72 timevalues_general = [0.0, 10.0, 20.0, 30.0, 40.0, 60.0, 120.0]
73 timevalues_mutant = [0.0, 10.0, 27.0, 35.0, 60.0, 120.0]
74
75 experiment1 = experiment_results(3.346e8, index_general, Data01_glucose,
76     timevalues_general)
77 experiment2 = experiment_results(6.685e8, index_general, Data02_glucose,
78     timevalues_general)
79
80 experiment3 = experiment_results(3.346e8, index_mutant, Data01_mutant,
81     timevalues_mutant)
82 experiment4 = experiment_results(3.346e8, index_mutant, Data02_mutant,
83     timevalues_mutant)
84
85 #If with mutant data
86 experimental_data = [experiment1, experiment2, experiment3, experiment4]
87
88 #If without mutant data
89 experimental_data = [experiment1, experiment2]
90
91 "Constructs the model with 11 parameters
92 return a problem_object"
93 function model_initialize()
94     @parameters t Extracellular_glucose k_a_Snf3 k_i_Snf3g k_i_Std1
95     K_Std1_Rgt1 k_i_Mth1 K_Mth1_Rgt1 k_p_ATP k_i_Snf1 k_i_Mig1 T_mHXT1
96     _activation controller_Rgt1 controller_Mig2
97     @variables Snf3(t) Snf3g(t) Std1(t) Mth1(t) Rgt1_active(t) mSNF3(t)
98     mSTD1(t) mMTH1(t) mRGT1(t) mHXT1(t) Hxt1(t) mHXT2(t) Hxt2(t) mHXT3(t)
99     Hxt3(t) mHXT4(t) Hxt4(t) mSNF1(t) Snf1(t) Cellular_glucose(t) mMIG1(t)
100     Mig1(t) mMIG2(t) Mig2(t) Rgt1(t)
101     D = Differential(t)
102
103     k_t_Snf3 = 0.010 #From RGT2!!
104     k_d_Snf3 = 0.231 #From RGT2!!
105     k_t_Std1 = 42.8
106     k_d_Std1 = 0.087
107     k_t_Mth1 = 6.000
108     k_d_Mth1 = 0.025
109     k_t_Rgt1 = 19.000
110     k_d_Rgt1 = 0.050
111
112     k_t_Hxt1 = 1.480
113     k_t_Hxt2 = 4.220
114     k_t_Hxt3 = 4.230
115     k_t_Hxt4 = 1.530
116     k_d_Hxt1 = 0.010
117     k_d_Hxt2 = 0.010
118     k_d_Hxt3 = 0.010
119     k_d_Hxt4 = 0.010
120     k_t_Snf1 = 0.160

```

```

112 k_d_Snf1 = 0.020
113 k_t_Mig1 = 62.000
114 k_d_Mig1 = 0.020
115 k_t_Mig2 = 6.000
116 k_d_Mig2 = 0.046
117 V_transport_Hxt1 = 4.14 * 10^20
118 K_transport_Hxt1 = 5.40 * 10^22
119 V_transport_Hxt2 = 5.82 * 10^19
120 K_transport_Hxt2 = 9.00 * 10^20
121 V_transport_Hxt3 = 2.16 * 10^20
122 K_transport_Hxt3 = 3.30 * 10^22
123 V_transport_Hxt4 = 9.60 * 10^19
124 K_transport_Hxt4 = 5.58 * 10^21
125
126
127 V_mSNF3 = 50
128   _Mig1_Snf3 = 0.000 #Not enough decimals
129   _Mig2_Snf3 = 0.010
130 V_mSTD1 = 0.040
131   _Rgt1_active_Std1 = 0.050
132 V_mMTH1 = 0.170
133   _Rgt1_active_MTH1 = 0.030
134   _Mig1_MTH1 = 0.460
135   _Mig2_MTH1 = 0.001
136 V_mRGT1 = 1.000
137
138 V_mHXT1 = 2.56
139   _Rgt1_active_HXT1 = 5.00 * 10^-001
140 V_mHXT2 = 1.430
141   _Rgt1_active_HXT2 = 0.450
142   _Mig1_HXT2 = 0.110
143   _Mig2_HXT2 = 0.010
144 V_mHXT3 = 2.350
145   _Rgt1_active_HXT3 = 0.240
146   _Mig1_HXT3 = 0.020
147   _Mig2_HXT3 = 0.001
148 V_mHXT4 = 34.200
149   _Rgt1_active_HXT4 = 0.026
150   _Mig1_HXT4 = 0.430
151   _Mig2_HXT4 = 0.080
152
153 V_mMIG1 = 0.020
154   _Mig1_MIG1 = 0.020
155   _Mig2_MIG1 = 0.000 #Not enough decimals
156 V_mMIG2 = 0.230
157   _Rgt1_active_MIG2 = 0.100
158   _Mig1_MIG2 = 0.001
159   _Mig2_MIG2 = 0.010
160 V_mSNF1 = 2.900
161
162 k_d_mHXT1 = 0.03
163 k_d_mHXT2 = 0.03
164 k_d_mHXT3 = 0.03
165 k_d_mHXT4 = 0.06
166 k_d_mSNF3 = 0.02
167 k_d_mMIG1 = 0.04
168 k_d_mMIG2 = 0.04
169 k_d_mMTH1 = 0.04
170 k_d_mSTD1 = 0.01
171 k_d_mRGT1 = 0.04
172 k_d_mSNF1 = 0.04

```

```

173
174
175 equation_system = [D(Snf3) ~ k_t_Snf3 * mSNF3 - k_d_Snf3 * Snf3 -
176 k_a_Snf3 * Snf3 * Extracellular_glucose + k_i_Snf3g * Snf3g,
177 D(Snf3g) ~ k_a_Snf3 * Snf3 * Extracellular_glucose - k_i_Snf3g *
178 Snf3g,
179 D(Std1) ~ k_t_Std1 * mSTD1 - k_d_Std1 * Std1 - k_i_Std1 * Std1 *
180 Snf3g,
181 D(Mth1) ~ k_t_Mth1 * mMTH1 - k_d_Mth1 * Mth1 - k_i_Mth1 * Mth1 *
182 Snf3g,
183 D(Rgt1) ~ k_t_Rgt1 * mRGT1 - k_d_Rgt1 * Rgt1,
184 Rgt1_active ~ K_Std1_Rgt1 * Std1 * Rgt1 + K_Mth1_Rgt1 * Mth1 * Rgt1,
185
186 D(Hxt1) ~ k_t_Hxt1 * mHXT1 - k_d_Hxt1 * Hxt1,
187 D(Hxt2) ~ k_t_Hxt2 * mHXT2 - k_d_Hxt2 * Hxt2,
188 D(Hxt3) ~ k_t_Hxt3 * mHXT3 - k_d_Hxt3 * Hxt3,
189 D(Hxt4) ~ k_t_Hxt4 * mHXT4 - k_d_Hxt4 * Hxt4,
190 D(Snf1) ~ k_t_Snf1 * mSNF1 - k_d_Snf1 * Snf1 - k_i_Snf1 * Snf1 *
191 Cellular_glucose,
192 D(Mig1) ~ k_t_Mig1 * mMIG1 - k_d_Mig1 * Mig1 - k_i_Mig1 * Mig1 *
193 Snf1,
194 D(Mig2) ~ k_t_Mig2 * mMIG2 - k_d_Mig2 * Mig2,
195 D(Cellular_glucose) ~ V_transport_Hxt1 * Extracellular_glucose / (
196 K_transport_Hxt1 + Extracellular_glucose) + V_transport_Hxt2 *
197 Extracellular_glucose / (K_transport_Hxt2 + Extracellular_glucose) +
198 V_transport_Hxt3 * Extracellular_glucose / (K_transport_Hxt3 +
199 Extracellular_glucose) + V_transport_Hxt4 * Extracellular_glucose / (
200 K_transport_Hxt4 + Extracellular_glucose) - k_p_ATP * Cellular_glucose,
201
202 D(mSNF3) ~ -k_d_mSNF3 * mSNF3 + V_mSNF3 / (1 + _Mig1_Snf3 * Mig1)
203 / (1 + _Mig2_Snf3 * Mig2),
204 D(mSTD1) ~ -k_d_mSTD1 * mSTD1 + V_mSTD1 / (1 + _Rgt1_active_Std1 *
205 Rgt1_active),
206 D(mMTH1) ~ -k_d_mMTH1 * mMTH1 + V_mMTH1 / (1 + _Rgt1_active_MTH1 *
207 Rgt1_active) / (1 + _Mig1_MTH1 * Mig1) / (1 + _Mig2_MTH1 * Mig2),
208 D(mRGT1) ~ controller_Rgt1 * (-k_d_mRGT1 * mRGT1 + V_mRGT1),
209 D(mHXT1) ~ -k_d_mHXT1 * mHXT1 + V_mHXT1 * (T_mHXT1 + ((1 - T_mHXT1)
210 * _activation * Rgt1) / (1 + _activation * Rgt1)) / (1 +
211 _Rgt1_active_HXT1 * Rgt1_active),
212 D(mHXT2) ~ -k_d_mHXT2 * mHXT2 + V_mHXT2 / (1 + _Rgt1_active_HXT2 *
213 Rgt1_active) / (1 + _Mig1_HXT2 * Mig1) / (1 + _Mig2_HXT2 * Mig2),
214 D(mHXT3) ~ -k_d_mHXT3 * mHXT3 + V_mHXT3 / (1 + _Rgt1_active_HXT3 *
215 Rgt1_active) / (1 + _Mig1_HXT3 * Mig1) / (1 + _Mig2_HXT3 * Mig2),
216 D(mHXT4) ~ -k_d_mHXT4 * mHXT4 + V_mHXT4 / (1 + _Rgt1_active_HXT4 *
217 Rgt1_active) / (1 + _Mig1_HXT4 * Mig1) / (1 + _Mig2_HXT4 * Mig2), D(
218 mMIG1) ~ -k_d_mMIG1 * mMIG1 + V_mMIG1 / (1 + _Mig1_MIG1 * Mig1) / (1 +
219 _Mig2_MIG1 * Mig2),
220 D(mMIG2) ~ controller_Mig2 * (-k_d_mMIG2 * mMIG2 + V_mMIG2 / (1 +
221 _Rgt1_active_MIG2 * Rgt1_active) / (1 + _Mig1_MIG2 * Mig1) / (1 +
222 _Mig2_MIG2 * Mig2)),
223 D(mSNF1) ~ -k_d_mSNF1 * mSNF1 + V_mSNF1]
224
225 @named system = ODESystem(equation_system)
226 system = structural_simplify(system)
227
228 c0 = zeros(24)
229 in = zeros(14)
230
231 u0 = [
232 Snf3 => c0[1],
233 Snf3g => c0[2],

```

```

211     Std1 => c0[3],
212     Mth1 => c0[4],
213     Hxt1 => c0[5],
214     Hxt2 => c0[6],
215     Hxt3 => c0[7],
216     Hxt4 => c0[8],
217     Snf1 => c0[9],
218     Cellular_glucose => c0[10],
219     Mig1 => c0[11],
220     Mig2 => c0[12],
221     Rgt1 => c0[13],
222     mSNF3 => c0[14],
223     mSTD1 => c0[15],
224     mMTH1 => c0[16],
225     mRGT1 => c0[17],
226     mHXT1 => c0[18],
227     mHXT2 => c0[19],
228     mHXT3 => c0[20],
229     mHXT4 => c0[21],
230     mSNF1 => c0[22],
231     mMIG1 => c0[23],
232     mMIG2 => c0[24]]
233
234     p = [k_a_Snf3 => in [1],
235         k_i_Snf3g => in [2],
236         k_i_Std1 => in [3],
237         K_Std1_Rgt1 => in [4],
238         k_i_Mth1 => in [5],
239         K_Mth1_Rgt1 => in [6],
240         k_p_ATP => in [7],
241         k_i_Snf1 => in [8],
242         k_i_Mig1 => in [9],
243         T_mHXT1 => in [10],
244         _activation => in [11],
245         Extracellular_glucose => in [12],
246         controller_Rgt1 => in [13],
247         controller_Mig2 => in [14]]
248
249     CSV.write("p_est_results/C_order.csv", DataFrame(index=collect(1:24), C=
states(system)))
250     CSV.write("p_est_results/param_order.csv", DataFrame(index=collect(1:14)
, C=parameters(system)))
251
252     tspan = (0.0, 10)
253     problem_object = ODEProblem(system, u0, tspan, p)
254     return problem_object, system
255 end
256
257 "Constructs the model with 13 parameters.
258 return a problem_object"
259 function model_initialize_big()
260     @parameters t Extracellular_glucose k_a_Snf3 k_i_Snf3g k_i_Std1
K_Std1_Rgt1 k_i_Mth1 K_Mth1_Rgt1 k_p_ATP k_i_Snf1 k_i_Mig1 T_mHXT1
_
_activation controller_Rgt1 controller_Mig2 _Mig1_Snf3 _Mig2_MIG1
261     @variables Snf3(t) Snf3g(t) Std1(t) Mth1(t) Rgt1_active(t) mSNF3(t)
mSTD1(t) mMTH1(t) mRGT1(t) mHXT1(t) Hxt1(t) mHXT2(t) Hxt2(t) mHXT3(t)
Hxt3(t) mHXT4(t) Hxt4(t) mSNF1(t) Snf1(t) Cellular_glucose(t) mMIG1(t)
Mig1(t) mMIG2(t) Mig2(t) Rgt1(t) #Variabler i modellen
262     D = Differential(t)
263
264     k_t_Snf3 = 0.010 #from RGT2!!

```

```

265 k_d_Snf3 = 0.231 #from RGT2!!
266 k_t_Std1 = 42.8
267 k_d_Std1 = 0.087
268 k_t_Mth1 = 6.000
269 k_d_Mth1 = 0.025
270 k_t_Rgt1 = 19.000
271 k_d_Rgt1 = 0.050
272
273 k_t_Hxt1 = 1.480
274 k_t_Hxt2 = 4.220
275 k_t_Hxt3 = 4.230
276 k_t_Hxt4 = 1.530
277 k_d_Hxt1 = 0.010
278 k_d_Hxt2 = 0.010
279 k_d_Hxt3 = 0.010
280 k_d_Hxt4 = 0.010
281 k_t_Snf1 = 0.160
282 k_d_Snf1 = 0.020
283 k_t_Mig1 = 62.000
284 k_d_Mig1 = 0.020
285 k_t_Mig2 = 6.000
286 k_d_Mig2 = 0.046
287 V_transport_Hxt1 = 4.14 * 10^20
288 K_transport_Hxt1 = 5.40 * 10^22
289 V_transport_Hxt2 = 5.82 * 10^19
290 K_transport_Hxt2 = 9.00 * 10^20
291 V_transport_Hxt3 = 2.16 * 10^20
292 K_transport_Hxt3 = 3.30 * 10^22
293 V_transport_Hxt4 = 9.60 * 10^19
294 K_transport_Hxt4 = 5.58 * 10^21
295
296
297 V_mSNF3 = 50
298 #_Mig1_Snf3 = 0.000 #Not enough decimals
299 _Mig2_Snf3 = 0.010
300 V_mSTD1 = 0.040
301 _Rgt1_active_Std1 = 0.050
302 V_mMTH1 = 0.170
303 _Rgt1_active_MTH1 = 0.030
304 _Mig1_MTH1 = 0.460
305 _Mig2_MTH1 = 0.001
306 V_mRGT1 = 1.000
307
308 V_mHXT1 = 2.56
309 _Rgt1_active_HXT1 = 5.00 * 10^-001
310 V_mHXT2 = 1.430
311 _Rgt1_active_HXT2 = 0.450
312 _Mig1_HXT2 = 0.110
313 _Mig2_HXT2 = 0.010
314 V_mHXT3 = 2.350
315 _Rgt1_active_HXT3 = 0.240
316 _Mig1_HXT3 = 0.020
317 _Mig2_HXT3 = 0.001
318 V_mHXT4 = 34.200
319 _Rgt1_active_HXT4 = 0.026
320 _Mig1_HXT4 = 0.430
321 _Mig2_HXT4 = 0.080
322
323
324 V_mMIG1 = 0.020
325 _Mig1_MIG1 = 0.020

```

```

326 # _Mig2_MIG1 = 0.000 #Not enough decimals
327 V_mMIG2 = 0.230
328   _Rgt1_active_MIG2 = 0.100
329   _Mig1_MIG2 = 0.001
330   _Mig2_MIG2 = 0.010
331 V_mSNF1 = 2.900
332
333 k_d_mHXT1 = 0.03
334 k_d_mHXT2 = 0.03
335 k_d_mHXT3 = 0.03
336 k_d_mHXT4 = 0.06
337 k_d_mSNF3 = 0.02
338 k_d_mMIG1 = 0.04
339 k_d_mMIG2 = 0.04
340 k_d_mMTH1 = 0.04
341 k_d_mSTD1 = 0.01
342 k_d_mRGT1 = 0.04
343 k_d_mSNF1 = 0.04
344
345
346 equation_system = [D(Snf3) ~ k_t_Snf3 * mSNF3 - k_d_Snf3 * Snf3 -
k_a_Snf3 * Snf3 * Extracellular_glucose + k_i_Snf3g * Snf3g ,
347   D(Snf3g) ~ k_a_Snf3 * Snf3 * Extracellular_glucose - k_i_Snf3g *
Snf3g ,
348   D(Std1) ~ k_t_Std1 * mSTD1 - k_d_Std1 * Std1 - k_i_Std1 * Std1 *
Snf3g ,
349   D(Mth1) ~ k_t_Mth1 * mMTH1 - k_d_Mth1 * Mth1 - k_i_Mth1 * Mth1 *
Snf3g ,
350   D(Rgt1) ~ k_t_Rgt1 * mRGT1 - k_d_Rgt1 * Rgt1 ,
351   Rgt1_active ~ K_Std1_Rgt1 * Std1 * Rgt1 + K_Mth1_Rgt1 * Mth1 * Rgt1 ,
352
353
354   D(Hxt1) ~ k_t_Hxt1 * mHXT1 - k_d_Hxt1 * Hxt1 ,
355   D(Hxt2) ~ k_t_Hxt2 * mHXT2 - k_d_Hxt2 * Hxt2 ,
356   D(Hxt3) ~ k_t_Hxt3 * mHXT3 - k_d_Hxt3 * Hxt3 ,
357   D(Hxt4) ~ k_t_Hxt4 * mHXT4 - k_d_Hxt4 * Hxt4 ,
358   D(Snf1) ~ k_t_Snf1 * mSNF1 - k_d_Snf1 * Snf1 - k_i_Snf1 * Snf1 *
Cellular_glucose ,
359   D(Mig1) ~ k_t_Mig1 * mMIG1 - k_d_Mig1 * Mig1 - k_i_Mig1 * Mig1 *
Snf1 ,
360   D(Mig2) ~ k_t_Mig2 * mMIG2 - k_d_Mig2 * Mig2 ,
361   D(Cellular_glucose) ~ V_transport_Hxt1 * Extracellular_glucose / (
K_transport_Hxt1 + Extracellular_glucose) + V_transport_Hxt2 *
Extracellular_glucose / (K_transport_Hxt2 + Extracellular_glucose) +
V_transport_Hxt3 * Extracellular_glucose / (K_transport_Hxt3 +
Extracellular_glucose) + V_transport_Hxt4 * Extracellular_glucose / (
K_transport_Hxt4 + Extracellular_glucose) - k_p_ATP * Cellular_glucose ,
362
363   #mRNA
364   D(mSNF3) ~ -k_d_mSNF3 * mSNF3 + V_mSNF3 / (1 + _Mig1_Snf3 * Mig1)
/ (1 + _Mig2_Snf3 * Mig2) ,
365   D(mSTD1) ~ -k_d_mSTD1 * mSTD1 + V_mSTD1 / (1 + _Rgt1_active_Std1 *
Rgt1_active) ,
366   D(mMTH1) ~ -k_d_mMTH1 * mMTH1 + V_mMTH1 / (1 + _Rgt1_active_MTH1 *
Rgt1_active) / (1 + _Mig1_MTH1 * Mig1) / (1 + _Mig2_MTH1 * Mig2) ,
367   D(mRGT1) ~ controller_Rgt1 * (-k_d_mRGT1 * mRGT1 + V_mRGT1) ,
368   D(mHXT1) ~ -k_d_mHXT1 * mHXT1 + V_mHXT1 * (T_mHXT1 + ((1 - T_mHXT1)
* _activation * Rgt1) / (1 + _activation * Rgt1)) / (1 +
_Rgt1_active_HXT1 * Rgt1_active) ,
369   D(mHXT2) ~ -k_d_mHXT2 * mHXT2 + V_mHXT2 / (1 + _Rgt1_active_HXT2 *
Rgt1_active) / (1 + _Mig1_HXT2 * Mig1) / (1 + _Mig2_HXT2 * Mig2) ,

```

```

370     D(mHXT3) ~ -k_d_mHXT3 * mHXT3 + V_mHXT3 / (1 + _Rgt1_active_HXT3 *
Rgt1_active) / (1 + _Mig1_HXT3 * Mig1) / (1 + _Mig2_HXT3 * Mig2),
371     D(mHXT4) ~ -k_d_mHXT4 * mHXT4 + V_mHXT4 / (1 + _Rgt1_active_HXT4 *
Rgt1_active) / (1 + _Mig1_HXT4 * Mig1) / (1 + _Mig2_HXT4 * Mig2), D(
mMIG1) ~ -k_d_mMIG1 * mMIG1 + V_mMIG1 / (1 + _Mig1_MIG1 * Mig1) / (1 +
_Mig2_MIG1 * Mig2),
372     D(mMIG2) ~ controller_Mig2 * (-k_d_mMIG2 * mMIG2 + V_mMIG2 / (1 +
_Rgt1_active_MIG2 * Rgt1_active) / (1 + _Mig1_MIG2 * Mig1) / (1 +
_Mig2_MIG2 * Mig2)),
373     D(mSNF1) ~ -k_d_mSNF1 * mSNF1 + V_mSNF1]
374
375 @named system = ODESystem(equation_system)
376 system = structural_simplify(system)
377
378 c0 = zeros(24)
379 in = zeros(16)
380
381 u0 = [
382     Snf3 => c0[1],
383     Snf3g => c0[2],
384     Std1 => c0[3],
385     Mth1 => c0[4],
386     Hxt1 => c0[5],
387     Hxt2 => c0[6],
388     Hxt3 => c0[7],
389     Hxt4 => c0[8],
390     Snf1 => c0[9],
391     Cellular_glucose => c0[10],
392     Mig1 => c0[11],
393     Mig2 => c0[12],
394     Rgt1 => c0[13],
395     mSNF3 => c0[14],
396     mSTD1 => c0[15],
397     mMTH1 => c0[16],
398     mRGT1 => c0[17],
399     mHXT1 => c0[18],
400     mHXT2 => c0[19],
401     mHXT3 => c0[20],
402     mHXT4 => c0[21],
403     mSNF1 => c0[22],
404     mMIG1 => c0[23],
405     mMIG2 => c0[24]]
406
407 p = [k_a_Snf3 => in [1],
408     k_i_Snf3g => in [2],
409     k_i_Std1 => in [3],
410     K_Std1_Rgt1 => in [4],
411     k_i_Mth1 => in [5],
412     K_Mth1_Rgt1 => in [6],
413     k_p_ATP => in [7],
414     k_i_Snf1 => in [8],
415     k_i_Mig1 => in [9],
416     T_mHXT1 => in [10],
417     _activation => in [11],
418     Extracellular_glucose => in [12],
419     controller_Rgt1 => in [13],
420     controller_Mig2 => in [14],
421     _Mig1_Snf3 => in [14],
422     _Mig2_MIG1 => in [14]]
423

```

```

424     CSV.write("p_est_results/C_order.csv", DataFrame(index=collect(1:24), C=
states(system)))
425     CSV.write("p_est_results/param_order.csv", DataFrame(index=collect(1:16)
, C=parameters(system)))
426
427     tspan = (0.0, 10)
428     problem_object = ODEProblem(system, u0, tspan, p)
429     return problem_object, system
430 end
431
432 "Gives a solution over time
433 with points at t_stop_points"
434 function model_solver(_problem_object::ODEProblem, in ::AbstractVector, c0
::AbstractVector, t_stop::Number)
435     problem_object = remake(_problem_object, u0=convert.(eltype(in), c0),
tspan=(0.0, t_stop), p=in)
436     sol = solve(problem_object, Rodas5P(), abstol=1e-8, reltol=1e-8; verbose
=false)
437     return sol
438 end
439
440 "Condition to terminate pre_equilibrium. Happens when gradient is flat
enough meaning steady-state is reached"
441 function terminate_condition(u, t, integrator)
442     abstol = 1e-8 / 100
443     reltol = 1e-8 / 100
444
445     dudt = DiffEqBase.get_du(integrator)
446     valCheck = sqrt(sum((dudt ./ (reltol * integrator.u .+ abstol)) .^ 2) /
length(u))
447     return valCheck < 1.0
448 end
449
450 "Terminates pre_equilibrium"
451 function terminate_affect!(integrator)
452     terminate!(integrator)
453 end
454
455 "Calculates steady-state concentrations"
456 function ss_conc_calc(_problem_object::ODEProblem, in ::AbstractVector, c0
::AbstractVector)
457     t_maximum = 10000 #Maximala tid att nå maximum
458     problem_object = remake(_problem_object, u0=convert.(eltype(in), c0),
tspan=(0.0, t_maximum), p=in)
459     cb = DiscreteCallback(terminate_condition, terminate_affect!)
460     sol = solve(problem_object, callback=cb, Rodas5P(), abstol=1e-8, reltol
=1e-8; verbose=false)
461     if sol.retcode == :Success && sol.retcode != :Terminated
462         @warn "Failed solving ss ODE, reason: $(sol.retcode)" maxlog = 10
463         return Inf
464     end
465     if sol.t == t_maximum
466         @warn "Did not reach steady-state in pre_equilibrium in allotted time
" maxlog = 10
467         return Inf
468     end
469     return sol.u[end]
470 end
471
472 "Linear interpolation"
473 function interpolate(t::Number, f1, f2, t1, t2)

```

```

474     return (f2 - f1) ./ (t2 - t1) .* (t - t1) + f1
475 end
476
477 "For some error checking in ODE:solver"
478 function check_extra_error(e)
479     if e isa BoundsError
480         @warn "Bounds error ODE solve"
481     elseif e isa DomainError
482         @warn "Domain error on ODE solve"
483     elseif e isa SingularException
484         @warn "Singular exception on ODE solve"
485     else
486         rethrow(e)
487     end
488 end
489
490 "Calculate difference between experiments and model"
491 function cost_function(problem_object, log, experimental_data::
AbstractVector,
492     index_first_Hxt=6, index_glucose=3, index_controller_Rgt1=11,
index_controller_Mig2=14)
493
494     = exp.(log)
495     _type = eltype( )
496
497     zero_typefix = convert.( _type, 0)
498     one_typefix = convert.( _type, 1)
499
500     insert!( , index_glucose, zero_typefix)
501     insert!( , index_controller_Rgt1, one_typefix)
502     #insert!( , index_controller_Mig2, one_typefix)
503     append!( , one_typefix)
504
505     error = 0
506     c_eq_store = []
507     for (i, experiment) in enumerate(experimental_data)
508         try
509             c_eq = [1]
510             if i == 2
511                 c_eq = c_eq_store
512             else
513                 if i == 3
514                     [index_controller_Rgt1] = zero_typefix
515                     [index_controller_Mig2] = one_typefix
516                 else
517                     i == 4
518                     [index_controller_Rgt1] = one_typefix
519                     [index_controller_Mig2] = zero_typefix
520                 end
521
522                 global c_eq = ss_conc_calc(problem_object, , zeros(24))
523                 if c_eq == Inf
524                     return Inf
525                 end
526
527                 if i == 1
528                     c_eq_store = c_eq
529                 end
530             end
531
532             if i == 1

```

```

533         c_eq_store = c_eq
534     end
535
536     [index_glucose] = convert.(_type , experiment.glucose_conc)
537     sol = model_solver(problem_object, , c_eq, 120) #All
experiments have end time 120
538     if sol.retcode :Success
539         if sol.retcode :DtLessThanMin
540             @warn "Failed solving ODE, reason: $(sol.retcode)"
maxlog = 10
541         end
542         return Inf
543     end
544     for (index_time_data, t) in enumerate(experiment.t)
545         index_time_model = convert.(Int64, findfirst(isone, sol.t
.>= t))
546
547         if index_time_model == 1
548             c_t = sol.u[1]
549         else
550             c_t = interpolate(t, sol.u[index_time_model-1], sol.u[
index_time_model], sol.t[index_time_model-1], sol.t[index_time_model])
551         end
552         for index_hxt = experiment.hxt_types #Kika
553             if i == 3 || i == 4
554                 error += sum((c_t[index_first_Hxt-1+4] - experiment.
c[index_time_data, 1]) .^ 2)
555             else
556                 #For without mutant
557                 #error += sum((c_t[index_first_Hxt-1+index_hxt] -
experiment.c[index_time_data, index_hxt]) .^ 2) #Håll koll på så index
(+5 blir rätt)
558
559                 #For with mutant
560                 error += sum((c_t[index_first_Hxt-1+index_hxt] -
experiment.c[index_time_data, ceil(Int, index_hxt / 2)]) .^ 2) #Håll koll
på så index (+5 blir rätt)
561             end
562         end
563     end
564     catch e
565         check_extra_error(e)
566         return Inf
567     end
568 end
569 return error
570 end
571
572 function timing_tests(problem_object, experimental_data, f)
573     #Solve one time first to fix compilation time
574     model_solver(problem_object, ones(12), zeros(26), 100)
575     cost_function(problem_object, zeros(11), experimental_data)
576     ForwardDiff.gradient(f, ones(11))
577     ForwardDiff.hessian(f, ones(11))
578
579     time_model_solver = @elapsed model_solver(problem_object, ones(12),
zeros(26), 100)
580     time_cost_function = @elapsed cost_function(problem_object, zeros(11),
experimental_data)
581     time_gradient = @elapsed ForwardDiff.gradient(f, ones(11))
582     time_hessian = @elapsed ForwardDiff.hessian(f, ones(11))

```

```

583     data = DataFrame(Function=["model_solver", "cost_function", "gradient",
584                        "hessian"], time=[time_model_solver, time_cost_function, time_gradient,
585                        time_hessian])
586     CSV.write("ss_timer.csv", data)
587 end
588
589 "Timing operations for big modell"
590 function timing_tests_big(problem_object, experimental_data, f)
591     #Solve one time first to fix compliation time
592     model_solver(problem_object, ones(16), zeros(26), 100)
593     cost_function(problem_object, zeros(13), experimental_data)
594     ForwardDiff.gradient(f, ones(13))
595     ForwardDiff.hessian(f, ones(13))
596
597     time_model_solver = @elapsed model_solver(problem_object, ones(16),
598     zeros(26), 100)
599     time_cost_function = @elapsed cost_function(problem_object, zeros(13),
600     experimental_data)
601     time_gradient = @elapsed ForwardDiff.gradient(f, ones(13))
602     time_hessian = @elapsed ForwardDiff.hessian(f, ones(13))
603     data = DataFrame(Function=["model_solver", "cost_function", "gradient",
604     "hessian"], time=[time_model_solver, time_cost_function, time_gradient,
605     time_hessian])
606     println(time_model_solver)
607     println(time_cost_function)
608     println(time_gradient)
609     println(time_hessian)
610     CSV.write("ss_timer.csv", data)
611 end
612
613 function bounds_generator( _estimation )
614     #bounds = [(1e-3, 1e3), (1e-3, 1e3), (1e-3, 1e3), (1e-3, 1e3), (1e-3, 1
615     e3), (1e-3, 1e3), (1e-3, 1e3), (1e-3, 1e3), (1e-3, 1e3), (1e-3, 1e3), (1e
616     -3, 1e3)]
617     bounds = [(1e-4, 1e4), (1e-4, 1e4), (1e-4, 1e4), (1e-4, 1e4), (1e-4, 1e4
618     ), (1e-4, 1e4), (1e-4, 1e4), (1e-4, 1e4), (1e-4, 1e4), (1e-4, 1e4), (1e
619     -4, 1e4)]
620     newbounds = bounds
621     for i = 1:11
622         newbounds[i] = _estimation [i] .* bounds[i]
623     end
624     return newbounds
625 end
626
627 function bounds_generator_big( _estimation )
628     bounds = [(1e-3, 1e3), (1e-3, 1e3), (1e-3, 1e3), (1e-3, 1e3), (1e-3, 1e3
629     ), (1e-3, 1e3), (1e-3, 1e3), (1e-3, 1e3), (1e-3, 1e3), (1e-3, 1e3), (1e
630     -3, 1e3), (1e-3, 1e3), (1e-3, 1e3)]
631     #bounds = [(1e-4, 1e4), (1e-4, 1e4), (1e-4, 1e4), (1e-4, 1e4), (1e-4, 1
632     e4), (1e-4, 1e4), (1e-4, 1e4), (1e-4, 1e4), (1e-4, 1e4), (1e-4, 1e4), (1e
633     -4, 1e4), (1e-4, 1e4), (1e-4, 1e4)]
634     newbounds = bounds
635     for i = 1:13
636         newbounds[i] = _estimation [i] .* bounds[i]
637     end
638     return newbounds
639 end
640
641 "Plot ode and compare with data"
642 function plot_kinetic( _ , experimental_data ,

```

```

629     index_first_Hxt=6, index_glucose=3, index_controller_Rgt1=11,
index_controller_Mig2=14)
630     = _
631     _type = eltype( )
632
633     zero_typefix = convert.( _type , 0)
634     one_typefix = convert.( _type , 1)
635
636     insert!( , index_glucose, zero_typefix)
637     insert!( , index_controller_Rgt1, one_typefix)
638     insert!( , index_controller_Mig2, one_typefix)
639
640
641     c_eq_store = []
642     for (i, experiment) in enumerate(experimental_data)
643         c_eq = [1]
644         if i == 2
645             c_eq = c_eq_store
646         else
647             if i == 3
648                 [index_controller_Rgt1] = zero_typefix
649                 [index_controller_Mig2] = one_typefix
650             else
651                 i == 4
652                 [index_controller_Rgt1] = one_typefix
653                 [index_controller_Mig2] = zero_typefix
654             end
655
656             global c_eq = ss_conc_calc(problem_object, , zeros(24))
657             if c_eq == Inf
658                 return Inf
659             end
660
661             if i == 1
662                 c_eq_store = c_eq
663             end
664         end
665         [index_glucose] = convert.( _type , experiment.glucose_conc)
666         sol = model_solver(problem_object, , c_eq, 120) #All experiments
have end time 120
667         if sol.retcode == :Success
668             if sol.retcode == :DtLessThanMin
669                 @warn "Failed solving ODE, reason: $(sol.retcode)" maxlog =
10
670             end
671             return Inf
672         end
673
674         model_conc = transpose(Matrix(sol))
675         if i == 1 || i==2
676             plot(sol.t, model_conc[:,18], labels = "Modell mHXT1", linewidth
= 2, c=RGB(0.41, 0.82, 0.91), ylims=(0,22))
677             plot!(sol.t, model_conc[:,19], labels = "Modell mHXT2", linewidth
= 2, c=RGB(0.98, 0.41, 0))
678             plot!(sol.t, model_conc[:,20], labels = "Modell mHXT3", linewidth
= 2, c=RGB(177/255, 58/255, 105/255))
679             plot!(sol.t, model_conc[:,21], labels = "Modell mHXT4", linewidth
= 2, c=RGB(102/255, 188/255, 102/255))
680
681             plot!(experiment.t, experiment.c[:,1], labels = "Data mHXT1",
seriestype=:scatter, c=RGB(0.41, 0.82, 0.91))

```

```

682         plot!(experiment.t, experiment.c[:,2], labels = "Data mHXT2",
seriestype=:scatter, c=RGB(0.98, 0.41, 0))
683         plot!(experiment.t, experiment.c[:,3], labels = "Data mHXT3",
seriestype=:scatter, c=RGB(177/255, 58/255, 105/255))
684         plot!(experiment.t, experiment.c[:,4], labels = "Data mHXT4",
seriestype=:scatter, c=RGB(102/255, 188/255, 102/255))
685     else
686         plot(sol.t, model_conc[:,21], labels = "mHXT4", linewidth = 2, c=
RGB(102/255, 188/255, 102/255), ylims=(0,80))
687         plot!(experiment.t, experiment.c, labels = ["mHXT4" "mHXT4"],
seriestype=:scatter, c=RGB(102/255, 188/255, 102/255))
688     end
689     plot!(xlabel="Tid (s)", ylabel="Koncentration (molekyler/cell)",
legend=:topright)
690     savefig("p_est_results/plot_ode_over_t$i")
691 end
692 end
693
694 # Avrages + Mutant + Big modell (-3, 3)*short_optim bounds
695 long_optim = [0.7969990063233143, 68.93424287588466, 6997.780815301634,
0.01593630757371225, 17.286346860335527, 0.008671320875673462,
0.00012446646232616555, 304.4640461729089, 111.99828602219864,
0.00030830983134835766, 235.26237907052467, 0.0001357129836595192,
23973.609058384074]
696
697
698 # 11 parameter modell
699 ==
700 problem_object, system = model_initialize()
701 bounds = bounds_generator(ones(11))
702 log_bounds = map(x -> (log(x[1]), log(x[2])), bounds)
703 f(x) = cost_function(problem_object, x, experimental_data) # 3 är index för
glukos
704 timing_tests(problem_object, experimental_data, f) # run the parameter
estimation
705 time = @elapsed x_min, f_min = p_est(f, log_bounds, 1000, false)
706 println("The optimization took: $time")
707 plot_kinetic(long_optim, experimental_data)
708 ==
709
710
711 # 13 parameter modell
712 problem_object, system = model_initialize_big()
713 bounds = bounds_generator_big(ones(13))
714 log_bounds = map(x -> (log(x[1]), log(x[2])), bounds)
715 f(x) = cost_function(problem_object, x, experimental_data, 18, 3, 12, 16) #
3 är index för glukos
716 timing_tests_big(problem_object, experimental_data, f)
717 time = @elapsed x_min, f_min = p_est(f, log_bounds, 1000, false) # run the
parameter estimation
718 println("The optimization took: $time")
719 plot_kinetic(long_optim, experimental_data, 18, 3, 12, 16)
720
721
722
723
724
725
726
727
728 ==

```

```
729 # Define the initial parameter values
730 params = x_min
731
732 # Perform profile likelihood analysis for each parameter
733 num_points = 100
734 threshold = 3.84
735
736 # save threshold
737 CSV.write("profilelikelihood_results/threshold.csv", DataFrame(threshold=
738     threshold))
739 run_profile_likelihood(params, log_bounds, 50, num_points, threshold)
```

---

### G.3 Optimierungsalgorithm

---

```
1 using ForwardDiff
2 using FiniteDifferences
3 using LinearAlgebra
4 using Distributions
5 using Random
6 using CSV
7 using DataFrames
8 using DelimitedFiles
9 using LinearAlgebra
10
11 "Search for the step size in the gradient direction dir used to find the
    next point for function f at point x"
12 function line_step_search(f::Function, x, dir; alpha=1.0)
13     is_descent_direction::Bool = true
14
15     # divide the start step size (alpha) until a function value less than
    that of the previous point is found
16     for i in 1:50
17         x_new = x + alpha * dir
18         if f(x_new) == Inf
19             alpha /= 2
20             continue
21         elseif f(x_new) < f(x) && i != 50
22             break
23         elseif i == 50
24             is_descent_direction = false
25         end
26
27         alpha /= 2
28     end
29
30     return alpha, is_descent_direction
31 end
32
33 #Alternative method to find a point in a descending direction
34 function steepest_descent(f::Function, grad, x, log_bounds)
35     dir = -grad / norm(grad)
36     alpha, is_descent_direction = line_step_search(f, x, dir)
37
38     x_old = x
39
40     # calculate next point and ensure point is within bounds, project back
    if that is the case
41     if is_descent_direction
42         x += alpha * dir
43         for i in eachindex(log_bounds)
44             if x[i] < log_bounds[i][1]
45                 x[i] = log_bounds[i][1]
46             elseif x[i] > log_bounds[i][2]
47                 x[i] = log_bounds[i][2]
48             end
49         end
50     end
51
52     if f(x) > f(x_old)
53         is_descent_direction = false
54         x = x_old
55     end
56
```

```

57     return x, is_descent_direction
58 end
59
60 "Generate samples according to latin square method with same dimensions as
    bounds"
61 function latin_hypercube(n_samples, log_bounds; seed=123)
62     # fix seed
63     Random.seed!(seed)
64
65     n_vars = length(log_bounds)
66
67     # Initialize the Latin square as an n-by-n array of zeros
68     square = zeros{Int, n_samples, n_samples}
69
70     # Fill the first row with random integers between 1 and n
71     square[1, :] = randperm(n_samples)
72
73     # Fill the remaining rows with shifted copies of the first row
74     for i in 2:n_samples
75         square[i, :] = circshift(square[i-1, :], 1)
76     end
77
78     # create random values to be added to sample values
79     random_matrix = rand(n_samples, n_vars)
80
81     # create a matrix where samples will be inserted to
82     x_samples_log = zeros(n_samples, n_vars)
83
84     # generate samples with random position within variable intervals
85     for i in 1:n_samples
86         for j in 1:n_vars
87             x_samples_log[i, j] = (square[i, j] - 1) / ((n_samples - 1) * (
n_samples / (n_samples - 1))) + random_matrix[i, j] / n_samples
88         end
89     end
90
91     # scale samples to bounds
92     for i in 1:n_samples
93         for j in 1:n_vars
94             x_samples_log[i, j] = (log_bounds[j][2] - log_bounds[j][1]) *
x_samples_log[i, j] + log_bounds[j][1]
95         end
96     end
97
98     return x_samples_log
99 end
100
101 function sample_correction(x_samples_log, n_samples)
102     # Failed samples
103     fail_samples = []
104
105     # Successful samples
106     success_samples = []
107
108     while length(success_samples) < n_samples
109         for sample in eachrow(x_samples_log)
110             if f(sample) == Inf && length(success_samples) < n_samples
111                 push!(fail_samples, sample)
112             elseif length(success_samples) < n_samples
113                 push!(success_samples, sample)
114             end
115         end
116     end

```

```

115         end
116         if n_samples - length(success_samples) < length(log_bounds)
117             x_samples_log = latin_hypercube(12, log_bounds)
118         else
119             x_samples_log = latin_hypercube(n_samples - length(
120 success_samples), log_bounds)
121         end
122     end
123     x_samples_log = success_samples
124
125     return x_samples_log
126 end
127
128 "Remove elements in a vector equal to zeros"
129 function remove_zeros(v::AbstractVector)
130     return filter(x -> x != 0, v)
131 end
132
133 "Check the quality of a gradient of a function f at x with ForwardDiff in
134 comparison to FiniteDifferences"
135 function check_gradient(f::Function, x)
136     # gradient of first sample using ForwardDiff
137     grad_forwarddiff = ForwardDiff.gradient(f, x)
138
139     # gradient of first sample using FiniteDifferences
140     grad_finitdiff = grad(central_fdm(10, 1), f, x)[1]
141
142     # if gradient differs more than a tolerance the gradient is not good
143     enough and the code stops
144     if any(abs.(grad_forwarddiff - grad_finitdiff) / min(abs(norm(
145 grad_forwarddiff)), abs(norm(grad_finitdiff))) .> 1e-3)
146         println("Gradient too unstable")
147         return Inf
148     end
149 end
150
151 # struct for collecting data for logging
152 struct log_results
153     sample_num_list::Vector{Int64}
154     x_current_sample_list::Vector{Union{Float64, AbstractArray}}
155     x_current_iter::Vector{Union{Float64, AbstractArray}}
156     function_values::Vector{Float64}
157     term_criteria::Vector{Union{Float64, AbstractArray, String}}
158     term_reason::Vector{Union{Float64, String}}
159     time_log::Vector{Float64}
160 end
161
162 "Minimizes a function f a point x with a combination of steepest descent and
163 newtons method"
164 function opt(f::Function, x, sample_num, iter, log_bounds; max_iter=1000)
165     # initiate lists for logging results
166     sample_num_list::Vector{Int64} = zeros(max_iter + 1)
167     x_current_sample_list::Vector{Union{Float64, AbstractArray}} = zeros(
168 max_iter + 1)
169     x_current_iter::Vector{Union{Float64, AbstractArray}} = zeros(max_iter +
170 1)
171     function_values::Vector{Float64} = zeros(max_iter + 1)
172     term_criteria::Vector{Union{Float64, AbstractArray, String}} = zeros(
173 max_iter + 1)
174     term_reason::Vector{Union{Float64, String}} = zeros(max_iter + 1)

```

```

168     time_log::Vector{Float64} = zeros(1)
169
170     x_current_samplepoint = x
171
172     # calculate gradient for first point
173     grad = ForwardDiff.gradient(f, x)
174     func_val = f(x)
175
176     # logging for first x
177     sample_num_list[1] = sample_num
178     x_current_sample_list[1] = exp.(x_current_samplepoint)
179     x_current_iter[1] = exp.(x)
180     function_values[1] = func_val
181     term_criteria[1] = "start point, no termination criteria"
182     term_reason[1] = "start point, no reason for termination"
183
184     min_iter = 0
185
186     time = @elapsed for i in 1:max_iter
187         # increment iteration number used for printing current iteration
188         # number
189         iter += 1
190
191         # increment iteration number for current sample, resets for each
192         # sample
193         min_iter += 1
194
195         # print sample number and iteration number
196         println("Iteration number: ", iter, ", Sample number: ", sample_num)
197
198         # Evaluate the function and its gradient and Hessian at the current
199         # point
200         grad = ForwardDiff.gradient(f, x)
201
202         # To compare with the current x in termination criteria
203         x_prev = x
204
205         is_descent_direction::Bool = false
206
207         # calculate the next point via steepest descent method
208         x, is_descent_direction = steepest_descent(f, grad, x, log_bounds)
209
210         # if a descent direction could not be found, the optimization of
211         # the current sample is terminated
212         and continue with the next ==
213         if !is_descent_direction
214             println("Descent direction not found!")
215             break
216         end
217
218         # Finite termination criteria
219         eps = 1e-3
220
221         # calculate function value used in termination criteria
222         function_value = f(x)
223
224         current_term_criteria = []
225         # termination criteria 1
226         if norm(grad) <= eps * (1 + abs(function_value))
227             push!(current_term_criteria, "1")
228         end

```

```

225     # termination criteria 2
226     if f(x_prev) - function_value <= eps * (1 + abs(function_value))
227         push!(current_term_criteria, "2")
228     end
229     # termination criteria 3
230     if norm(x_prev - x) <= eps * (1 + norm(x))
231         push!(current_term_criteria, "3")
232     end
233
234     # logging
235     sample_num_list[i+1] = sample_num
236     x_current_sample_list[i+1] = exp.(x_current_samplepoint)
237     x_current_iter[i+1] = exp.(x)
238     function_values[i+1] = f(x)
239     term_criteria[i+1] = current_term_criteria
240
241     # Checks if two or more of the termination criteria are met
242     if length(current_term_criteria) >= 2
243         term_reason[i+1] = "Two or more termination criteria was met"
244         break
245     else
246         term_reason[i+1] = " "
247     end
248 end
249
250 # log time for each sample
251 time_log[1] = time
252
253 # create a log_results object for current logging data
254 res = log_results(remove_zeros(sample_num_list),
255                 remove_zeros(x_current_sample_list),
256                 remove_zeros(x_current_iter),
257                 remove_zeros(function_values),
258                 remove_zeros(term_criteria),
259                 remove_zeros(term_reason),
260                 time_log)
261
262     return res, iter, min_iter, x, res.x_current_iter[end], res.
function_values[end]
263 end
264
265 "Runs an optimization on function f in the region of bounds with n_samples
number of samples.
266 If running p_est through profile likelihood pl_mode should be true"
267 function p_est(f::Function, log_bounds, n_samples, pl_mode; x_samples_log=0,
run_latin_hypercube=true)
268     if pl_mode == false
269         # create a directory for parameter estimation
270         if isdir("p_est_results") == false
271             mkdir("p_est_results")
272         end
273         # Check if the data.csv exists and truncate it if it does
274         if isfile("p_est_results/data.csv")
275             data_file = open("p_est_results/data.csv", "w")
276             truncate(data_file, 0)
277             close(data_file)
278             data = DataFrame(Iterationnumber=[],
279                             Samplepoint=[],
280                             Currentsample=[],
281                             x_current=[],
282                             Functionvalues=[])

```

```

283         Terminationcriteria=[],
284         Descentmethod=[],
285         Terminationreason=[])
286     CSV.write("p_est_results/data.csv", data, header=[:Iteration, :
Samplepoint, :Currentsample, :x_current, :Functionvalues, :
Terminationcriteria, :Descentmethod, :Terminationreason])
287     end
288
289     if isfile("p_est_results/sample_data.csv")
290         waterfall_file = open("p_est_results/sample_data.csv", "w")
291         truncate(waterfall_file, 0)
292         close(waterfall_file)
293     end
294
295     # Check if the time_log.csv exists and truncate it if it does
296     if isfile("p_est_results/time_log.csv")
297         timelog_file = open("p_est_results/time_log.csv", "w")
298         truncate(timelog_file, 0)
299         close(timelog_file)
300     end
301
302     # previous bounds
303     if isfile("p_est_results/bounds.csv")
304         read_previous_bounds = CSV.File("p_est_results/bounds.csv") |>
DataFrame
305         previous_bounds = [(x, y) for (x, y) in zip(read_previous_bounds
[: , 1], read_previous_bounds[: , 2])]
306
307         if log_bounds == previous_bounds && length(readdlm("
p_est_results/latin_hypercube.csv", Float64)[: , 1]) == n_samples
308             x_samples_log = readdlm("p_est_results/latin_hypercube.csv",
Float64)
309         end
310     else
311         # Generate Latin hypercube samples in the search space
312         x_samples_log = latin_hypercube(n_samples, log_bounds)
313
314         x_samples_log = sample_correction(x_samples_log, n_samples)
315
316         # save generated samples in file
317         open("p_est_results/latin_hypercube.csv", "w") do io
318             writedlm(io, x_samples_log)
319         end
320
321         # log used bounds
322         CSV.write("p_est_results/bounds.csv", DataFrame(log_bounds))
323     end
324 end
325
326 # start values, set for first sample
327 x_min = x_samples_log[1, :]
328 f_min = f(x_min)
329
330 # initiate variable that holds the iteration that has given the lowest
function value
331 iter_min = 1
332
333 # initiate variable sample and iteration number
334 sample_num = 0
335 iter = 0
336

```

```

337     if !pl_mode
338         iter_res::Vector{Int64} = zeros(n_samples)
339         x_sample_list::Vector{Union{Float64, AbstractArray}} = zeros(
n_samples)
340         x_iter_min_list::Vector{Union{Float64, AbstractArray}} = zeros(
n_samples)
341         f_min_list::Vector{Float64} = zeros(n_samples)
342     end
343
344     # iterate over the samples, each sample is optimized
345     for x in eachrow(x_samples_log)
346         sample_num += 1
347
348         # minimizes the cost function for the current start-guess
349         res, iter, min_iter, x, x_current_min, f_current_min = opt(f::
Function, x, sample_num, iter, log_bounds)
350
351         # only necessary if Profile likelihood is not currently used
352         if pl_mode == false
353             data = DataFrame(Iterationnumber=collect(1:length(res.
sample_num_list)),
354                             Samplepoint=res.sample_num_list,
355                             Currentsample=res.x_current_sample_list,
356                             x_current=res.x_current_iter,
357                             Functionvalues=res.function_values,
358                             Terminationcriteria=res.term_criteria,
359                             Terminationreason=res.term_reason)
360
361             # modifying the content of data.csv using write method
362             CSV.write("p_est_results/data.csv", data; append=true)
363
364             # log time for each sample point
365             CSV.write("p_est_results/time_log.csv", DataFrame(time=res.
time_log); append=true)
366             iter_res[sample_num] = min_iter
367             x_sample_list[sample_num] = exp.(x)
368             x_iter_min_list[sample_num] = x_current_min
369             f_min_list[sample_num] = f_current_min
370         end
371
372         # Update the minimum point and value
373         f_val = f(x)
374         if f_val < f_min
375             x_min = exp.(x)
376             f_min = f_val
377             iter_min = iter
378         end
379     end
380
381     if !pl_mode
382         CSV.write("p_est_results/sample_data.csv", DataFrame(sample_num=
collect(1:length(x_sample_list)),
383                     min_iter=min_iter,
384                     x_sample_list=x_sample_list,
385                     x_iter_min_list=x_iter_min_list,
386                     f_min_list=f_min_list))
387
388         CSV.write("p_est_results/opt_point.csv", DataFrame(x_min=[x_min],
f_min=f_min))
389     end
390

```

```
391 # Print the results
392 println("Minimum point: ", x_min)
393 println("Minimum value: ", f_min)
394 println("Iteration responsible for minimum: ", iter_min)
395
396 return x_min, f_min
397 end
```

---

## G.4 Profile likelihood

---

```
1 using LaTeXStrings
2 include("newton_minimize.jl")
3
4 "Determines the next point in the profiling of the cost function"
5 function new_point(log_param_last, param_index, log_bounds, sign, threshold;
6     q=1e-1)
7     stop_flag = false
8
9     # initiate step size vector
10    step_size = zeros(length(log_param_last))
11
12    # initiate step size of parameter of interest
13    step_size[param_index] = 1e-3 * log_param_last[param_index]
14
15    == since step_size[param_index] can be negative, this expression ensures
16    that
17    step_size[param_index] is always positive ==
18    if step_size[param_index] < 0
19        step_size[param_index] = -step_size[param_index]
20    end
21    cond_val = abs(f(log_param_last + sign * step_size) - f(log_param_last))
22
23    if f(log_param_last + sign * step_size) == Inf || cond_val > q *
24    threshold
25        while f(log_param_last + sign * step_size) == Inf || cond_val > q *
26        threshold
27            step_size[param_index] /= 2
28            if step_size[param_index] < 1e-6
29                step_size[param_index] = 1e-6
30                stop_flag = true
31                break
32            end
33            cond_val = abs(f(log_param_last + sign * step_size) - f(
34    log_param_last))
35        end
36    elseif cond_val <= q * threshold
37        i = 0
38        while cond_val <= q * threshold
39            i += 1
40            step_size[param_index] *= 2
41            cond_val = abs(f(log_param_last + sign * step_size) - f(
42    log_param_last))
43            if cond_val > q * threshold
44                step_size[param_index] /= 2
45                break
46            elseif i > 20
47                break
48            end
49        end
50    end
51    new_point = log_param_last + sign * step_size
52
53    # point can not be outside of bounds
54    if sign == -1
55        if new_point[param_index] < log_bounds[param_index][1]
56            new_point[param_index] = log_bounds[param_index][1]
57            stop_flag = true
58        end
59    elseif sign == 1
```

```

54         if new_point[param_index] > log_bounds[param_index][2]
55             new_point[param_index] = log_bounds[param_index][2]
56             stop_flag = true
57         end
58     end
59
60     return new_point, stop_flag
61 end
62
63 "Returns a cost function only dependent on indexes gives in index_x_small,
64   other variables are held constant"
65 function intermediate_cost_function(x_small, index_x_small, x_big)
66     x_big_ = convert.(eltype(x_small), x_big)
67     x_big_[index_x_small] .= x_small
68     return cost_function(problem_object, x_big_, experimental_data)
69 end
70
71 # struct for logging results from profile likelihood
72 struct log_pl_results
73     fix_param_index::Vector{Int64}
74     fix_param_list::Vector{Float64}
75     x_list::Vector{Union{Float64, AbstractArray}}
76     costfunc_value_list::Vector{Float64}
77 end
78
79 "Perform profile likelihood analysis for one parameter"
80 function profile_likelihood(params, param_index, log_bounds, num_points,
81   threshold)
82     # list of indexes to be optimized
83     index_list = [i for i in 1:length(log_bounds) if i != param_index]
84
85     # log-scale parameters
86     log_params = log.(params)
87
88     # new bounds
89     bounds_ = copy(log_bounds)
90     current_bounds = deleteat!(bounds_, param_index)
91
92     # new start values
93     log_x_samples = readdlm("profilelikelihood_results/pl_latin_hypercube",
94   Float64)
95
96     # remove the bound at the index of the parameter that is profiled
97     new_log_x_samples = hcat(log_x_samples[:, 1:param_index-1],
98   log_x_samples[:, param_index+1:end])
99
100     stop_flag = false
101
102     # begin profiling in negative direction
103     sign = -1
104
105     # initiate lists for logging
106     fix_param_index::Vector{Int64} = zeros(2 * num_points + 1)
107     fix_param_list::Vector{Union{Float64, AbstractArray}} = zeros(2 *
108   num_points + 1)
109     x_list::Vector{Union{Float64, AbstractArray}} = zeros(2 * num_points + 1)
110     costfunc_value_list::Vector{Float64} = zeros(2 * num_points + 1)
111
112     # log optimized parameters (start values)
113     fix_param_index[Int(num_points)+1] = param_index

```

```

110     fix_param_list[Int(num_points)+1] = x_min[param_index]
111     x_list[Int(num_points)+1] = [x_min[i] for i in eachindex(x_min) if i !=
param_index]
112     costfunc_value_list[Int(num_points)+1] = f_min
113
114     i = 0
115     log_params_current = log_params
116
117     while i < num_points
118         i += 1
119
120         #= continue to profile in the current direction if stop_flag is not
true and maximum steps (num_points)
121         in that direction is not taken, else change direction. If profiling
has been done in both directions
122         break the code =#
123         if stop_flag == false && i != num_points
124             # calculate next point
125             log_params_current, stop_flag = new_point(log_params_current,
param_index, log_bounds, sign, threshold)
126
127             elseif (i == num_points && sign == -1 && !(stop_flag == true)) ||
(! (i == num_points) && sign == -1 && stop_flag == true)
128                 sign = 1
129                 i = 1
130                 log_params_current = log_params
131                 log_params_current, stop_flag = new_point(log_params_current,
param_index, log_bounds, sign, threshold)
132             else
133                 break
134             end
135
136             # Redefine the cost function
137             cost_function_profilelikelihood = (x) -> intermediate_cost_function(
x, index_list, log_params_current)
138
139             # Find the maximum likelihood estimate for the parameter of interest
140             x_min, f_min = p_est(cost_function_profilelikelihood, current_bounds
, 1000, true; x_samples_log=new_log_x_samples)
141
142             # update logging lists with results
143             if sign == -1
144                 fix_param_index[Int(num_points)+1-i] = param_index
145                 fix_param_list[Int(num_points)+1-i] = exp.(log_params_current[
param_index])
146                 x_list[Int(num_points)+1-i] = x_min
147                 costfunc_value_list[Int(num_points)+1-i] = f_min
148             else
149                 fix_param_index[Int(num_points)+1+i] = param_index
150                 fix_param_list[Int(num_points)+1+i] = exp.(log_params_current[
param_index])
151                 x_list[Int(num_points)+1+i] = x_min
152                 costfunc_value_list[Int(num_points)+1+i] = f_min
153             end
154
155             # function value should not exceed a specific percentage of the
starting point of profile profile_likelihood
156             if f_min - f(log_params) > 1.2 * threshold
157                 stop_flag = true
158             end
159         end

```

```

160
161 # puts data in struct and removes zeros
162 pl_res = log_pl_results(remove_zeros(fix_param_index),
163     remove_zeros(fix_param_list),
164     remove_zeros(x_list),
165     remove_zeros(costfunc_value_list))
166
167     return pl_res
168 end
169
170 "Run profile likelihood with the optimized parameters params, specifying how
171     many steps can
172     maximally be made in each direction"
173 function run_profile_likelihood(params, log_bounds, n_samples_pl, num_points
174     , threshold)
175     # create a directory for profile likelihood
176     if isdir("profilelikelihood_results") == false
177         mkdir("profilelikelihood_results")
178     end
179
180     # save threshold
181     CSV.write("profilelikelihood_results/threshold.csv", DataFrame(threshold
182     =threshold))
183
184     # Check if the profile_likelihood.csv exists and truncate it if it does
185     if isfile("profilelikelihood_results/profile_likelihood.csv")
186         pl_file = open("profilelikelihood_results/profile_likelihood.csv", "
187     w")
188         truncate(pl_file, 0)
189         close(pl_file)
190     end
191
192     x_samples_log = latin_hypercube(n_samples_pl, log_bounds)
193     x_samples_log = sample_correction(x_samples_log, n_samples_pl)
194
195     # save generated samples in file
196     open("profilelikelihood_results/pl_latin_hypercube", "w") do io
197         writedlm(io, x_samples_log)
198     end
199
200     # iterate over all parameters
201     for i in 1:length(log_bounds)
202         # run profile likelihood for the current parameter
203         pl_res = profile_likelihood(params, i, log_bounds, num_points,
204     threshold)
205
206         # create a DataFrame for the data to be logged
207         data = DataFrame(Fixed_parameter_index=pl_res.fix_param_index,
208     Fixed_parameter=pl_res.fix_param_list,
209     Parameters=pl_res.x_list,
210     CostfunctionValues=pl_res.costfunc_value_list)
211
212         # modifying the content of profile_likelihood.csv using write method
213         CSV.write("profilelikelihood_results/profile_likelihood.csv", data;
214     append=true)
215     end
216 end
217
218 "Make contour plot for 2 variables, only possible for a model with two
219     unknown paramters"
220 function contourplot_2p()

```

```

214 x = collect(range(0.1, 6, length=100))
215 y = collect(range(0.1, 6, length=100))
216 points = Vector{Vector{Float64}}(undef, length(x) * length(y))
217
218 k = 1
219 for i in x
220     for j in y
221         points[k] = [i, j]
222         k += 1
223     end
224 end
225
226 A = zeros(100, 100)
227 index = 1 # initialize index for vector
228 for i in 1:100
229     for j in 1:100
230         # Generate the element you want to insert
231         element = f(log.(points[index]))
232
233         # Insert the element into the matrix at the current index
234         A[i, j] = element
235
236         index += 1 # increment index for next element in vector
237     end
238 end
239 contour(x, y, A, xaxis=L"\theta_1", yaxis=L"\theta_2", colorbar_title="
Kostnadsfunktion", labelfontsize=15, colorbar_titlefont=font(15))
240 savefig("plot_2d.png")
241 end

```

---

## G.5 Plottning av resultat från parameterestimation

---

```
1 using Plots
2 using CSV
3 using DataFrames
4 using LaTeXStrings
5
6 function plot_pl()
7     data = CSV.read("profilelikelihood_results/profile_likelihood.csv",
8     DataFrame;
9     header=[:fixed_parameter_index, :fixed_parameter, :parameters, :
10     cost_function_values])
11
12     grouped = groupby(data, :fixed_parameter_index)
13     # Iterate over groups and create a plot for each one
14     for (sample_number, group) in pairs(grouped)
15         sample_number = sample_number.fixed_parameter_index
16
17         # plot profile likelihood
18         plot(group[!, :fixed_parameter], group[!, :cost_function_values],
19         xaxis=L"\theta_%$sample_number$", yaxis="Kostnadsfunktion", legend=false
20         , lc=:black, lw=2, labelfontsize=15)
21
22         # plot threshold
23         x = collect(Float64, range(group[!, :fixed_parameter][1], group[!, :
24         fixed_parameter][end], length=2))
25         y = (CSV.read("p_est_results/opt_point.csv", DataFrame)[1, 2] + CSV.
26         read("profilelikelihood_results/threshold.csv", DataFrame)[1, 1]) * ones(
27         length(x))
28         plot!(x, y, lc=:black, linestyle=:dash, lw=2)
29
30         #save plot
31         savefig("profilelikelihood_results/parameter$sample_number.png")
32     end
33 end
34
35 function plot_waterfall()
36     data = CSV.read("p_est_results/sample_data.csv", DataFrame)
37     y = data[:, 5]
38     sort!(y)
39     x = collect(1:length(y))
40
41     plot(x, y, xaxis="Startvärden", yaxis="Kostnadsfunktion", lw=2,
42     labelfontsize=15, legend=false)
43     savefig("p_est_results/waterfall_plot")
44
45     n_convergent_samples = 0
46     for i in 1:length(x)
47         if abs(y[i] - y[1]) < 0.1
48             n_convergent_samples += 1
49         else
50             break
51         end
52     end
53
54     convergence_ratio = 100 * (n_convergent_samples / length(x))
55     result = "$convergence_ratio% of the start points converged to the same
56     minimum point,
57     with an accepted difference of 0.1 in function value from the smallest
58     function value"
59     CSV.write("p_est_results/waterfall_results.csv", DataFrame(
60     waterfall_result=result))
```

```
49 end
50
51 # plot profile likelihood
52 plot_pl()
53
54 # plot waterfall plot
55 plot_waterfall()
```

---